

Beiträge zur Chemie des Indols, VII<sup>1)</sup>  
 Synthesen in der Iboga-Reihe, III<sup>1)</sup>

**Ibogamin, Ibogain und Epiibogamin**

Peter Rosenmund\*, Wolfgang H. Haase, Jürgen Bauer und Rainer Frische

Institut für Organische Chemie der Universität Frankfurt,  
 D-6000 Frankfurt am Main 50, Laboratorium Niederursel, Niederurseler Hang

Eingegangen am 18. Juni 1974

Ausgehend von Malon- und Acrylester, *o*-Nitrotoluol, Oxalester, Bromessigester und Hydroxylamine werden in 14 Stufen jeweils stereoselektiv sowohl die Iboga- als auch die Epiiboga-Alkaloide nach einer neuen Indolsynthese erhalten. Diese Synthesen sind konfigurationsbeweisend.

Contributions to the Chemistry of Indole, VII<sup>1)</sup>  
 Syntheses in the Iboga-Series, III<sup>1)</sup>  
 Ibogamine, Ibogaine, and Epiibogamine

Starting from dimethyl malonate, methyl acrylate, *o*-nitrotoluene, diethyl oxalate, ethyl bromoacetate, and hydroxylamine, both the iboga and epiiboga alkaloids have been synthesised stereoselectively in only fourteen steps by a novel indole synthesis. This synthesis proves the configuration.

In mehreren Veröffentlichungen zeigten wir, daß eine neue Indolsynthese – reduktive Cyclisierung von *o*-Nitrophenacetyl-(cyclo)alkanonen<sup>2)</sup> – geeignet ist, das Skelett der Iboga-Alkaloide verhältnismäßig einfach zu erhalten. Auf diese Weise wurde das Desäthyl-Ibogaibogamin<sup>3)</sup>, das Desäthylibogamin<sup>4)</sup> sowie das 8-Oxodesäthylibogamin<sup>1)</sup> synthetisiert.

Durch Einführung einer Äthylseitenkette erhält das vollständige Alkaloidgerüst gegenüber dem Desäthylibogamin ein viertes Asymmetriezentrum (C-4). Durch den auch mittels des Formelschemas erläuterten Syntheseweg wird stereoselektiv sowohl die Iboga- (C-4 *cis*) als auch die Epiiboga-Reihe (C-4 *trans*) aus gemeinsamen Vorstufen zugänglich.

Die Ketonkomponente **5** wurde nach einer durch uns vereinfachten Vorschrift italienischer Autoren<sup>5)</sup> – kombinierte *Michael-Diekmann*-Reaktion von Acryl- und Malonester, Alkylierung des  $\beta$ -Ketoesters **2** mit Natrium und Äthyljodid in Xylol sowie Verseifung und Decarboxylierung des erhaltenen **4** – gewonnen. Ersatz der Äthylester gegen die Methylster ergab wesentliche Vorteile vor allem hinsichtlich des apparativen Aufwandes und der Zeitersparnis.

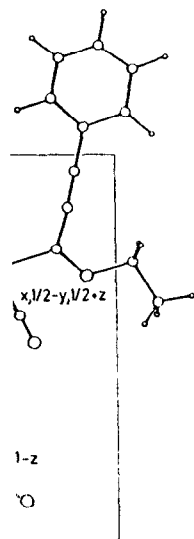
\* V. bzw. II. Mitteil.: P. Rosenmund, W. H. Haase, J. Bauer und R. Frische, Chem. Ber. 106, 1474 (1973).

<sup>1)</sup> P. Rosenmund und W. H. Haase, Chem. Ber. 99, 2504 (1966).

<sup>2)</sup> P. Rosenmund, J. Bauer und D. Sauer, Chem. Ber. 104, 1379 (1971).

<sup>3)</sup> P. Rosenmund, W. H. Haase, J. Bauer und R. Frische, Chem. Ber. 106, 1459 (1973).

<sup>4)</sup> M. Artico, R. Giuliano und F. Lattanzi, Ann. Chim. (Rome) 53, 1911 (1963).

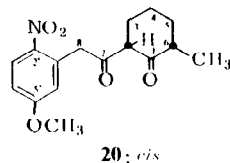
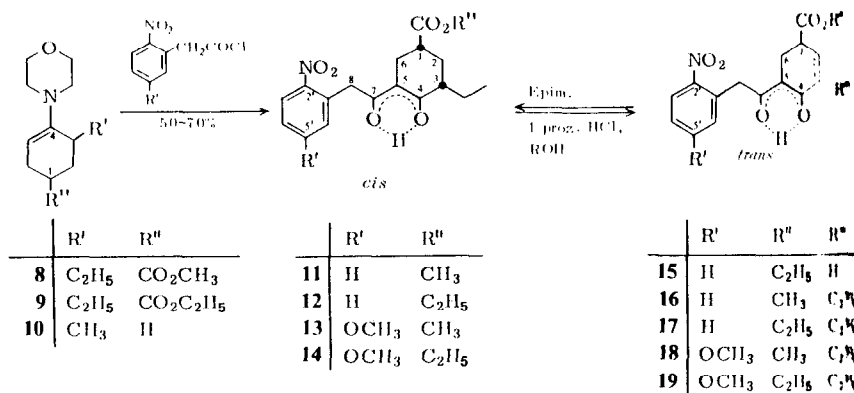
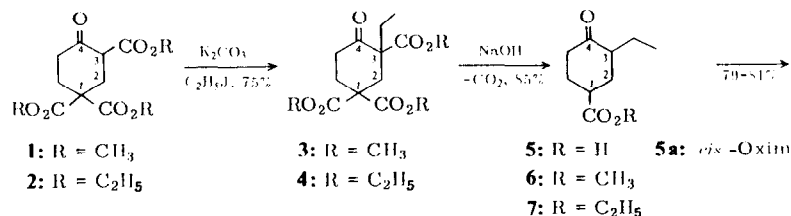


me

H für ihr Interesse an dieser  
 Bewilligung von Rechenen  
 he Forschungsgemeins. Auf  
 tvolle Sachmittel zur Ver

[482 74]

Das so gewonnene **1** konnte jedoch nicht in Xylol zu **3** alkyliert werden (Unlöslichkeit des Na-Salzes), sondern wurde mit mindestens gleich gutem Ergebnis wie bei der Darstellung von **4** in trockenem Aceton mit  $K_2CO_3$  als Base und Äthyljodid alkyliert.



Obwohl das hierbei erhältliche **5** leicht als *cis*-Isomeres gewonnen werden kann, ist dies im Hinblick auf die angestrebte Stereoselektivität der Synthese bedeutungslos, da die anschließende Enaminbildung der Ester **6, 7** zu **8, 9** unter epimerisierenden Bedingungen durchgeführt wird (Azeotropmethode). Durch starke sterische Hinderung des Morpholinringes mit der benachbarten synplanaren Äthylseitenkette bedingt, entstehen **8, 9** vorwiegend *trans*-konfiguriert. Die Enaminbildung benötigt 3–4 Tage, jedoch, trotz vorhandener Estergruppe, ohne Nachteil für die Ausbeute.

Bei der nachfolgenden Acylierung mit (2-Nitrophenyl)acetylchlorid und der anschließenden Verseifung der Addukte zu den Diketonen **11–19** bleibt der während der Enaminbildung erworbene überwiegende *trans*-Anteil weitgehend erhalten, obwohl dieser jetzt infolge Fortfalls des Stützeffektes, den der Morpholinring der axialen Äthylseitenkette gewährt, thermodynamisch ungünstig ist.

Für die Bestimmung sehr gut die NMR-Signale bei unterschiedlichen 2-nitrophenylacetylchlorid (TMS, 60 MHz)  $\delta = 17.12$  ein Verhältnis. Die Zuordnung erbrachten Beweis, c

1) Das *trans*-Diket...  
2) Allgemein wird...  
Da das *cis*-Isomere...  
nt, besteht eine im C...  
transwechsel die Ge...  
beitragen wird.

1) Unter energisch...  
has Bedingungen fü...  
wichtiges, in welchem...  
Aus diesem von beide...  
AG-Wert von 0.4 kcal

Die geschilderte N...  
vollständig enolisier...  
**14, 19** ergibt jedoch...  
enolisierten Diketofo...  
gibt keine FeCl<sub>3</sub>-Rea...  
Wärme nach längere...  
in der nicht enolisier...  
Bestimmungsmethod...  
absorbiert woanders...  
und zwar, wie hier...  
Systeme) wie das 5-H...  
maß ist demnach die

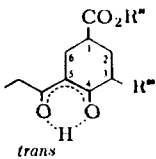
Derartige nichtene...  
der Benzylprotonen...  
12 Hz, 20 = 31 Hz...  
asymmetrisch, über d...  
zeigen auch die von...  
geringere, Aufspaltur...  
leicht verbreitertes Si...  
(Cl<sub>4</sub> 1:1) ließ sich ar...  
bei 60 MHz. Hierfür...  
gruppe, in Verbindung...  
lich sein.

\* Mit  $AG = -RT \ln c$   
Chemische Berichte Jahrg. 108

n (Unlöslichkeit  
wie bei der Dar-  
alkyliert.

→

dim



| R''                           | R'''                          |
|-------------------------------|-------------------------------|
| C <sub>2</sub> H <sub>5</sub> | H                             |
| CH <sub>3</sub>               | C <sub>2</sub> H <sub>5</sub> |
| C <sub>2</sub> H <sub>5</sub> | C <sub>2</sub> H <sub>5</sub> |
| H <sub>3</sub>                | CH <sub>3</sub>               |
| H <sub>3</sub>                | C <sub>2</sub> H <sub>5</sub> |

erden kann<sup>5)</sup>, ist  
unlöslich, da die  
den Bedingungen  
des Morpholin-  
en<sup>8,9</sup> vorwiegend  
otz vorhanden

und der sauren  
r Enaminbildung  
eser jetzt infolge  
ankette gewährte.

Für die Bestimmung des Isomerenverhältnisses bei manchen dieser Diketone eignet sich sehr gut die NMR-Spektroskopie. *cis*- und *trans*-Isomeres erzeugen oft Enolprotonensignale bei unterschiedlicher Feldstärke. So zeigt das aus dem Enamin **8** mit (5-Methoxy-2-nitrophenyl)acetylchlorid erhaltene Isomerengemisch **13/18** zwei Singulets bei (CDCl<sub>3</sub>/TMS, 60 MHz)  $\delta = 15.15$  (**18**) und 15.45 ppm (**13**) (8 : 3). Analog fanden wir für das Gemisch **11/12** ein Verhältnis von ca. 3.5 : 1.

Die Zuordnung erfolgte, abgesehen von dem durch die Darstellung der Alkaloide erbrachten Beweis, durch folgende Ergebnisse und Überlegungen:

1) Das *trans*-Diketon entsteht im Überschuß.

2) Allgemein wird das Proton der stärkeren H-Brücke bei tieferem Feld angezeigt. Da das *cis*-Isomere am Cyclohexanonring (Cyclohexenring) diäquatorial substituiert ist, besteht eine im Gegensatz zum *trans*-Isomeren geringere Tendenz, durch Konformationswechsel die Geometrie des Moleküls zu ändern, was zur Stabilisierung der H-Brücke beitragen wird.

3) Unter energischen Bedingungen (1proz. Salzsäure, absol. Alkohole, 48 h Rückfluß; diese Bedingungen führen zu Zersetzungen) gelingt die Einstellung des Diketongleichgewichtes, in welchem nunmehr erwartungsgemäß der *cis*-Anteil überwiegt (**12** : **17** = 2 : 1). Aus diesem von beiden Seiten her einstellbaren Gleichgewicht errechnet sich ein ungefährer  $\Delta G$ -Wert von 0.4 kcal<sup>6)</sup>.

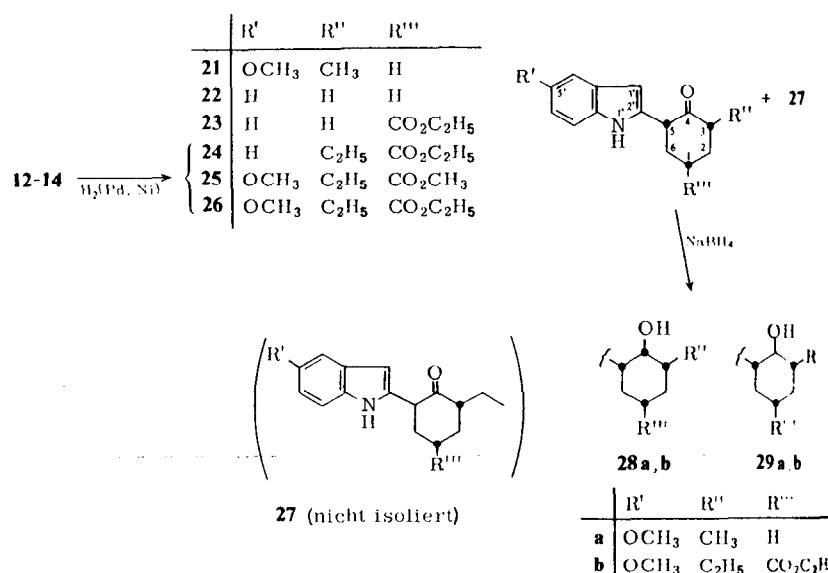
Die geschilderte NMR-spektroskopische Bestimmungsmethode gilt nur für in Lösung vollständig enolisierende Diketone. Das aus dem Enamin **9** gewonnene Isomerengemisch **14/19** ergibt jedoch hiernach einen zu kleinen *cis*-Anteil. Es gelingt, **14** in einer nicht enolisierten Diketoform zu kristallisieren. Die frisch bereitete Lösung von **14** in Alkoholen gibt keine FeCl<sub>3</sub>-Reaktion und keinen Cu-Komplex, diese Reaktionen treten erst in der Wärme nach längerer Zeit auf. Es ist daher wahrscheinlich, daß ein Teil des *cis*-Isomeren in der nicht enolisierten Form bereits im Rohprodukt vorliegt und sich der genannten Bestimmungsmethode entzieht. Das in Frage kommende Proton (5-H) solcher Diketone absorbiert woanders (z. B. **20**: 2a-H:  $\delta = 3.6$  ppm, CDCl<sub>3</sub>/CCl<sub>4</sub> 1 : 1, HMDSO, 100 MHz), und zwar, wie hier exakt auszumachen, in analoger Signalgestalt (X-Teil eines ABX-Systems) wie das 5-H in den Verbindungen **21**, **24** – **26**, also als axiales H. Erwartungsgemäß ist demnach die äquatoriale Einstellung des (2-Nitrophenyl)acetylrestes begünstigt.

Derartige nichtenolisierende Diketone zeigen weiter eine auffällige Nichtäquivalenz der Benzylprotonen (C-8) unter Ausbildung eines ausgeprägten AB-Musters (**14**:  $\Delta\nu = 12$  Hz,  $20 = 31$  Hz, 100 MHz). Dies hängt u. E. damit zusammen, daß C-5, nunmehr asymmetrisch, über das Carbonyl C-7 hinweg einen Diastereotopieanteil liefert. Allerdings zeigen auch die von uns vermessenen enolisierenden Diketone eine, jedoch deutlich geringere, Aufspaltung der Benzylmethylengruppe, die im 60-MHz-Spektrum nur als nicht verbreitertes Singulett mit sehr kleinen Außenlinien erscheint. Bei 100 MHz (CDCl<sub>3</sub>/CCl<sub>4</sub> 1 : 1) ließ sich an Verbindung **15** ein  $\Delta\nu$  von 14 Hz errechnen, entsprechend ca. 9 Hz bei 60 MHz. Hierfür kann eine leichte Rotationshemmung, bedingt durch die Nitrogruppe, in Verbindung mit der allgemeinen Asymmetrie des Cyclohexenringes verantwortlich sein.

<sup>6)</sup> Mit  $\Delta G = -RT \ln cis/trans$

### Stereochemie der Indolketone und -oxime

Nach stereoselektiver Synthese und Reindarstellung der *cis*- sowie der *trans*-Diketone läßt sich eine überschaubare reduktive Cyclisierung zu den Indolketonen 24–26 durchführen. Durch Addition der reduktiv erzeugten Aminogruppe an das C-7-Carbonyl der Diketone wird deren Enolisierung, soweit vorhanden, aufgehoben und ein neues Asymmetriezentrum (C-5) gebildet. Hierbei ist, wie weiter unten noch ausgeführt, ein thermodynamischer Verlauf anzunehmen.



Aus den *cis*-Diketonen entstehen bei reduktivem Indolringschluß praktisch nur die *all-cis*-Indolketone. Die Epimeren mit axialem Indoliganden sind, auch dünnschicht chromatographisch, nicht nachweisbar infolge des nicht zu vernachlässigenden Energieunterschiedes zwischen äquatorialer und axialer Lage des Indolylrestes.

Bei den konformativ stabilen Indolketonen mit äquatorialem Indolylrest (*cis*-Ketone) ist die Möglichkeit einer H-Brücke zwischen Carbonylsauerstoff und Indol-NH in Erwägung zu ziehen. Dieses würde eine Rotationshemmung für den Indolylrest bedeuten und diesen in die Ebene des Cyclohexanonringes zwingen. Besonders prägnant läßt sich dies an Verbindung 21<sup>4)</sup> erkennen. Im NMR-Spektrum (CDCl<sub>3</sub>/HMDSO 100 MHz) tritt eine Verdopplung der NH-Signale ( $\delta = 8.78$  und  $8.21$  ppm, 2:1) und ebenfalls der  $\beta$ -H-Signale ( $6.05$  und  $6.2$  ppm, 2:1) auf, wobei das jeweils bei tieferem Feld erscheinende Signal durch Brückenbindung erzeugt wird. Übereinstimmend mit der Existenz zweier Rotameren ist die unscharfe Zeichnung der Aromatenprotonen.

Die Cyclohexanonprotonen werden in zwei gut voneinander abgesetzte Gruppen ( $2.65$ – $2.2$  (2H) sowie  $2.2$ – $1.5$  ppm) getrennt. Durch die synplanare Lage des Indolylaromaten wird zusätzlich zu dem Signal von 3a-H das von 6e-H nach tiefem Feld verschoben. Das Dublett der Methylgruppe (äquatorial, s. u.) erscheint bei  $0.98$  ppm ( $J = 6$  Hz).

Die geschilderte Durch Borhydrid-28a, 29a kann man bildet 4-H wird l ergibt im Falle des  $J = 9$  Hz, 100 MHz

Bei 28a, 29a ge cis Aminen – die und  $\beta$ -H-Signale, s Signal nicht verstär bei  $\delta = 1.96$  ppm (

Die an 21 ausfü ketone (24–26), v

Während die *cis* ketone ergeben, sin sprechend den geri mationsenergien v Reduktion, mittels Ausbeute isolieren hung zur Epiboga Oxim (s. u.). Ganz ketonen vor (s. u.)

Bei der Umwanc hat sich bei uns de durch Desaktivieru erst faßbar werden. anzugreifen, kataly Hydrierung der In möglich<sup>3)</sup>. Bei unse gruppe nicht zu erl bestimmt und zu k rung<sup>1)</sup>.

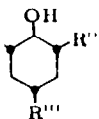
Entsprechend de axialer Ligand in 3,5 sterisch weniger du Ligand. Eine 3,5-Di Einschränkung in d die in der Folge be

Setzt man das *cis* dem Enamin 9 mit und oximiert sofort aminhydrochlorid/

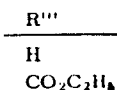
<sup>1)</sup> Asymmetrische K.

*cis*-Diketone  
— 26 durch-  
carbonyl der  
es Asymme-  
ein thermo-

+ 27



29 a, b



tisch nur die  
dünn-schicht-  
den Energie-

t (*cis*-Ketone)  
dol-NH bzw  
r den Indolyl-  
Besonders gut  
Cl<sub>3</sub>/HMDSO.  
: 1) und eben-  
tieferem Feld  
nend mit der  
tonen.

etzte Gruppen  
ge des Indol-  
fem Feld ver-  
0,98 ppm ( $J =$

Die geschilderte Rotationshemmung ist nur möglich bei äquatorialem Indolylrest. Durch Borhydrid-Reduktion des Ketons **21** zu den beiden *cis/trans*-isomeren Alkoholen **2a, 29a** kann man die äquatoriale Lage auch der Methylgruppe nachweisen. Das neugebildete 4-H wird hierbei symmetrisch von zwei gleichen 3a,5a-Protonen umgeben und ergibt im Falle des *trans*-Isomeren **29a** ein fast ideales Triplett (2.96 ppm, CDCl<sub>3</sub>/HMDSO,  $J = 9$  Hz, 100 MHz, *cis*-Isomeres **28a**: 4e-H 3.77 ppm,  $W_{11} = 8$  Hz).

Bei **28a, 29a** geht weitgehend — im Gegensatz zu den weiter unten besprochenen *trans*-Aminen — die Fähigkeit zur Brückenbindung verloren: keine Verdopplung der NH- und  $\beta$ -H-Signale, scharfe Signale der Aromatenprotonen, insbesondere wird das 6e-H-Signal nicht verstärkt nach tiefem Feld verschoben, es erscheint bei **28b** mit  $J_{gem} = 12$  Hz bei  $\delta = 1.96$  ppm (CDCl<sub>3</sub>/HMDSO, 100 MHz).

Die an **21** ausführlich geschilderten Verhältnisse gelten ähnlich für andere *cis*-Indolketone (**24–26**), vgl. hierzu die Angaben im exp. Teil.

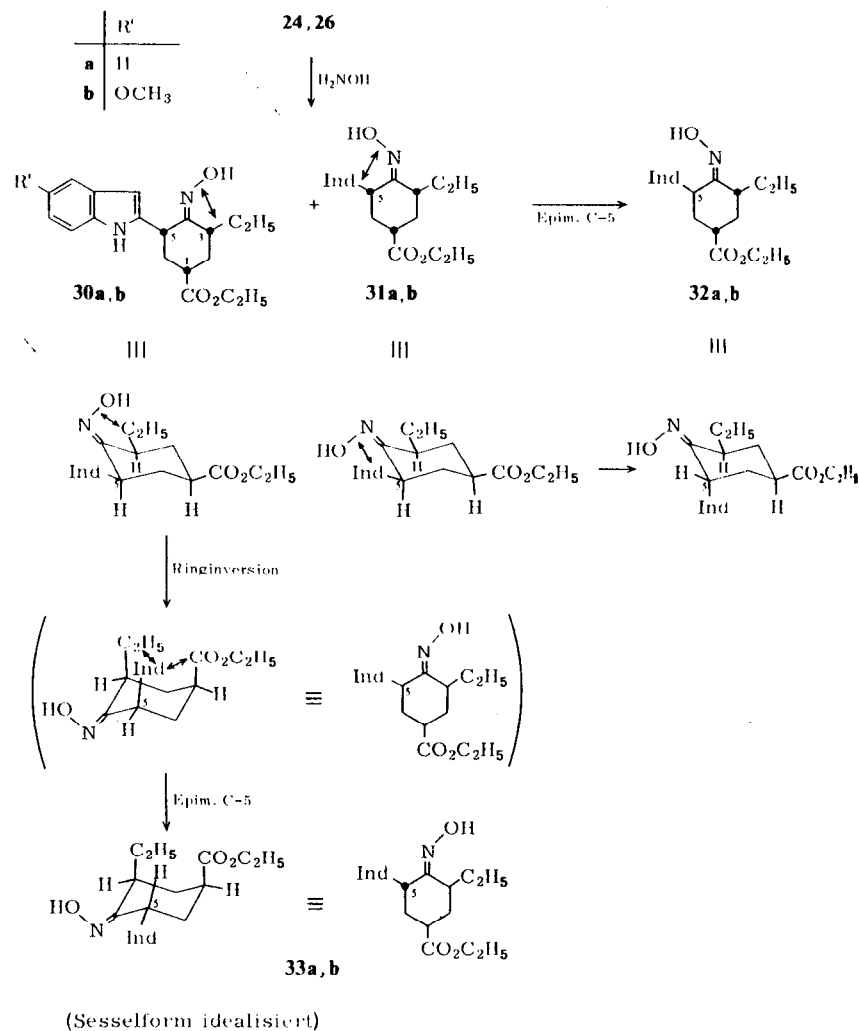
Während die *cis*-Diketone jeweils nur ein thermodynamisch begünstigtes *all-cis* Indolketon ergeben, sind von den *trans*-Diketonen zwei *trans*-Indolketone zu erwarten, entsprechend den geringen Energiedifferenzen zwischen den Isomeren (Differenz der Konformationsenergien von 1-Ester- und 3-Äthylgruppe). So erhält man z. B. aus **17** nach der Reduktion, mittels DC nachweisbar, zwei Ketone, von denen sich das eine, **34a**, in ca. 50% Ausbeute isolieren ließ. Verbindung **35a**, die ja wegen ihrer direkten sterischen Beziehung zur Epiiboga-Reihe interessant ist, war als Keton nicht faßbar, wohl jedoch als Oxim (s. u.). Ganz offensichtlich liegt in Lösung ein Gleichgewicht zwischen den beiden Ketonen vor (s. u.). Die *trans*-Methoxyindole **34b, 35b** waren nicht isolierbar.

Bei der Umwandlung der Ketofunktion der Indolketone in die entsprechenden Amine hat sich bei uns der Weg über die Oxime sehr bewährt. Zunächst stabilisiert das Oxim durch Desaktivierung der Carbonylgruppe die Indolkörper, die daraufhin überhaupt oft erst faßbar werden. Zum anderen läßt sich die Oximgruppe, ohne die Indoldoppelbindung anzugreifen, katalytisch unter Druck in die *cis/trans*-Amine überführen. Eine direkte Hydrierung der Indolketone in Gegenwart von Ammoniak ist dagegen mitunter nicht möglich<sup>3)</sup>. Bei unseren bisherigen Versuchen gab sich jedoch eine Eigenschaft der Oximgruppe nicht zu erkennen, die jetzt ganz wesentlich den sterischen Verlauf der Synthese bestimmt und zu komplizierter Vielfältigkeit führt: ihre asymmetrische sterische Hinderung<sup>3)</sup>.

Entsprechend den oben dargelegten Verhältnissen an Morpholin-Enaminen wird ein axialer Ligand in 3,5-Position zur Oximgruppe (bezogen auf die Cyclohexanon-Sesselform) sterisch weniger durch die *syn*-Oximgruppe behindert als ein gleich großer äquatorialer Ligand. Eine 3,5-Disubstitution ist daher, im Gegensatz zur Enaminsituation, ohne größere Einschränkung in der *trans*-Stellung (ein Rest axial) möglich. Mit dieser Annahme werden die in der Folge beschriebenen Verhältnisse verständlich.

Setzt man das *cis/trans*-Isomerengemisch eines Diketons, z. B. **14/19**, unmittelbar aus dem Enamin **9** mit (5-Methoxy-2-nitrophenyl)acetylchlorid erhalten, zur Hydrierung ein Oxim, so oximiert sofort in der üblichen Weise durch kurzes Kochen in Alkohol mit Hydroxylaminhydrochlorid/Natriumacetat, so kann man nicht weniger als 7 Oxime nachweisen.

<sup>3)</sup> Asymmetrische Ketone ergeben meist das zu größerem Rest *anti*-ständige Oxim.



Zur Reindarstellung von 5 dieser Oxime mußten wir, da Chromatographie nicht zum Ziele führte, von bereits definierten Verbindungen, wie den *cis*-Ketonen 24 und 26 ausgehen und oximierten diese unter den vorgenannten Bedingungen. Hierbei konnten wir jeweils 4 Oxime erhalten, wobei in der Kälte zwei (30a, b und 31a, b), in der Hitze jedoch drei Oxime (30 – 32a, b) neben jeweils wenig 33a, b gebildet werden.

30a, b und 31a, b ergeben bei der katalytischen Reduktion identische *cis/trans*-Amine (das *cis*-Amin führt weiter zu den Alkaloiden). 30 und 31 sind damit *syn/anti*-Oxime der *all-cis*-Ketonen.

32 und 33 müssen Epimere von 30 und 31 sein, sie liefern dementsprechend andere Amine (kontrolliert durch DC). 33a, b wurden nicht rein isoliert, sondern nur im Gemisch mit 32a, b erhalten.

Auch unter e  
aus den *cis*-Ind  
unten gezeigt, C  
aus den *trans*-  
rennenswerte I

Daß C-5 ein  
Dicarbonyl). V  
cyclohexanon  
auch in der Wä  
ven H entstan  
der mit α gek

61 + 2 MgJCl

Hierbei gew  
dall in sehr sch  
auf die Carbon

Weitere Fak  
Die Oxime 30  
bereits beim C  
2a, b umlage  
ist dann notw

bezogen) den  
axial drängt. D

bch, da – oh  
mit der Oximg  
de Ausweichr

Ringinversion  
HCl ROH we  
gebildet wurde

die gleichen A  
Oxime und w

Mit diesen

Das verwirr  
fach auftreten

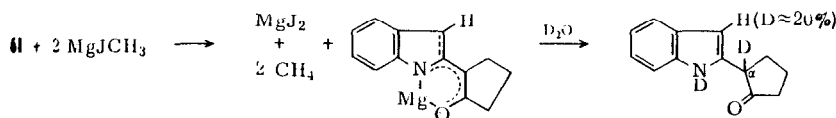
Indolprotonen  
sowie das -trip  
Tripletts auf (

ordnen sind.  
Besonders inte

\* Aus der Dis

Auch unter erheblich drastischeren Bedingungen (Kochen unter Säurekatalyse) werden aus den *cis*-Indolketonen nicht die Oxime 36–38 gebildet. Diese entstammen, wie weiter unten gezeigt, der *trans*-Reihe. Andererseits gewinnt man unter gleichen Voraussetzungen aus den *trans*-Indolketonen nicht die Oxime der *cis*-Reihe, womit hervorgeht, daß eine nennenswerte Epimerisierung nur an C-5 erfolgen kann.

Daß C-5 ein labiles Zentrum darstellt, ergibt sich schon aus seiner Genese (C-5 der Decarboxylyle). Wir haben außerdem das Indolylcyclopentanon 61 (und analog das Indolylcyclohexanon 22) mit überschüssigem Methylmagnesiumjodid sowohl in der Kälte als auch in der Wärme behandelt. Hierbei entwickeln sich stets 2 mol Methan; die beiden aktiven H entstammen, durch Zersetzung mit D<sub>2</sub>O nachweisbar, aus dem Indol-NH wie aus dem mit  $\alpha$  gekennzeichneten Stellung<sup>81</sup>.



Hierbei gewinnt man die Ketone nahezu quantitativ unverändert zurück. Daraus folgt, daß in sehr schneller Reaktion die Bildung des Chelats erfolgen muß, so daß ein Angriff auf die Carbonylgruppe unterbleibt.

Weitere Fakten liefert die unterschiedliche Umwandlungstendenz der einzelnen Oxime. Die Oxime 30a,b sind relativ stabil, während sich 31a,b sehr leicht, in geringem Umfang bereits beim Chromatographieren, schnell und in erheblicher Menge in der Wärme in 32a,b umlagern (zur präparativen Gewinnung geeignet). Diese Epimerisierung an C-5 ist dann notwendig, wenn die *syn*-Oximgruppe (*syn/anti* immer auf den Indolliganden bezogen) den Indolylrest infolge sterischer Wechselwirkung aus der Äquatoriallage nach axial drängt. Demgegenüber erscheint die Stabilität von 30a,b – *anti*-Oxime – verständlich, da – ohne darauf einzugehen, welche der beiden 3,5-Substituenten sterisch stärker mit der Oximgruppe korrespondieren – C-3 unter diesen Bedingungen nicht epimerisiert, die Ausweichreaktion indirekt über eine Epimerisierung von C-5 in Verbindung mit einer Ringinversion erfolgen müßte. Wir konnten zeigen (DC), daß aus 30a,b beim Erhitzen in EtOH wenig 31a,b und 32a,b, aber relativ viel 33a,b, den Epimeren von 30a,b, gebildet wurde. Das bislang nicht trennbare Gemisch 32/33 ergibt bei der Aminreduktion die gleichen Amine (DC) wie reines 32a,b, womit 33a,b und 32a,b *syn/anti*-isomere Oxime und wahrscheinlich durch diese Isomerie eingefrorene Konformere sind.

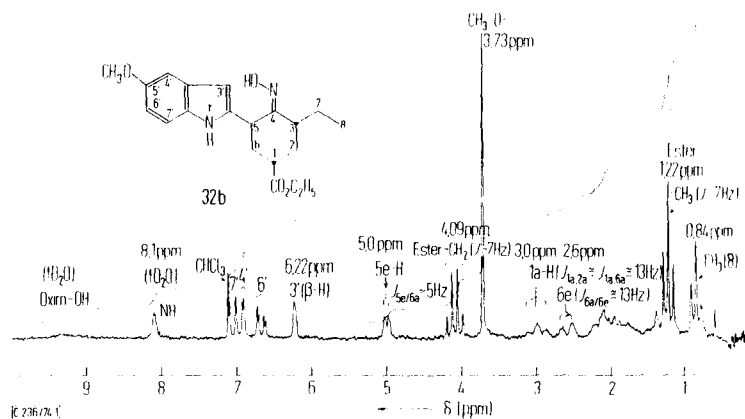
Mit diesen Überlegungen stimmen auch die NMR-Daten überein.

Das verwirrendste Bild ergeben hierbei 31a und b, da manche Signale doppelt und dreifach auftreten. Man erkennt ungewohnte Signale im Zwischenbereich der Benzol- und Cycloprotonen ( $\delta = 6.9-6.4$  ppm, CDCl<sub>3</sub>/TMS, 90 MHz), das Esterquartett (4.16 ppm) sowie das -triplett (1.25 ppm) erscheinen verdoppelt, ferner treten mindestens zwei weitere Triplets auf (1.0 und 0.58 ppm) die der Estergruppe und/oder der Äthylseitenkette zuzuordnen sind. Das Signal des Indol- $\beta$ -H (6.35 ppm) entspricht keinem vollen Proton. Besonders interessant ist ein Signal bei 4.7 ppm. Mit der Halblinienbreite von  $W_{11} = 20$  Hz,

<sup>81</sup> Aus der Dissertation D. Dorn-Zachert, Univ. Frankfurt 1975.

über der Gestalt eines verzerrten Triplets, ist dies kein rein axiales H, wie es in dieser Verschiebung einzig 5-H zukommen kann. Vielmehr scheint die *syn*-Oximgruppe mit dem Indolrest derart in Wechselwirkung zu stehen, daß der Indolring unter Verlassen der reinen Cyclohexanonesselform in eine halbaxiale Position gedrängt wird. Damit gelangt 5-H in den entschirmenden Bereich der *syn*-Oximgruppe, was andererseits eine Rotationshemmung des NMR-aktiven Indolringes bewirken muß. Hieraus dürften sich z.T. die verschiedenen Ester- und Äthylseitenkettensignale erklären lassen.

Den schwer zu deutenden Spektren von 31a, b (von denen wir außer Konformeren auch Tautomere vermuten) stehen die Spektren der Umwandlungsprodukte 32a, b gegenüber. Am auffälligsten ist wieder das Signal bei  $\delta = 5.0$  ppm (Abb.) (32a 5.03 ppm). Hierbei handelt es sich um das gegenüber 31a, b nochmals nach tiefem Feld verschobene Signal von 5e-H. Linienbreite  $W_{11} = 10$  Hz und Kopplungsmuster kennzeichnen es als äquatoriales H ( $J_{5e,6a} \cong 5$  Hz,  $J_{5e,6e} \cong 0$  Hz). Damit ist das Indol dem sterischen Druck der Oximgruppe ausgewichen, die Folge ist konformative Einheitlichkeit: keinerlei erkennbare Verdopplung der Estersignale, klare Signalgruppen im Bereich der Aromatenprotonen. Diese deutliche ersichtliche Epimerisierungsneigung von 31a, b steht im krassen Gegensatz zu den  $\alpha$ -Diketone nicht auftretenden Epimeren) und fordert damit besonders sorgfältige Beachtung im Zuge der weiteren Synthese.



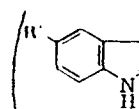
<sup>1</sup>H-NMR-Spektren von Oxim 32b, aufgenommen in CDCl<sub>3</sub>, innerer Standard HMDSO. Gerät Varian HA 100. Die axiale Indolage verursacht Tieffeldverschiebungen der Signale von 1a- und 6e-H in der Größenordnung von 0.2–0.3 ppm

Zu sehr bedeutsamen Konsequenzen führt in diesem Sinne die Oximierung der beiden Indolketone, die bei der Reduktion des *trans*-Diketons entstehen.

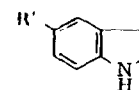
Setzt man das isolierbare 34a mit Hydroxylamin um, so erhält man unterschiedliche Produktverteilung je nach Art des präparativen Vorgehens. Eingabe des festen Ketons in eine Hydroxylaminhydrochlorid/Natriumacetatmischung in Methanol ergibt im wesentlichen die Oxime 36a und 38a (DC) neben wenig 37a. Löst man zuvor 34a in Methanol und fügt Hydroxylamin hinzu, dann erhält man unter sonst exakt gleichen Bedingungen wieder 36a und 38a, jedoch diesmal viel 37a. Dies ist dasjenige Oxim, welches, zum  $\alpha$ -

Amin hydrie des Oxims vorverstehen, da erstiert, welche werden kann, wir noch gesch. Ketonen gut (Differenz der zusammen, d führt. Dies bei licher Teil an, womit an diese Diketone gut 7

17-19



36 a-c



38 (a) b (

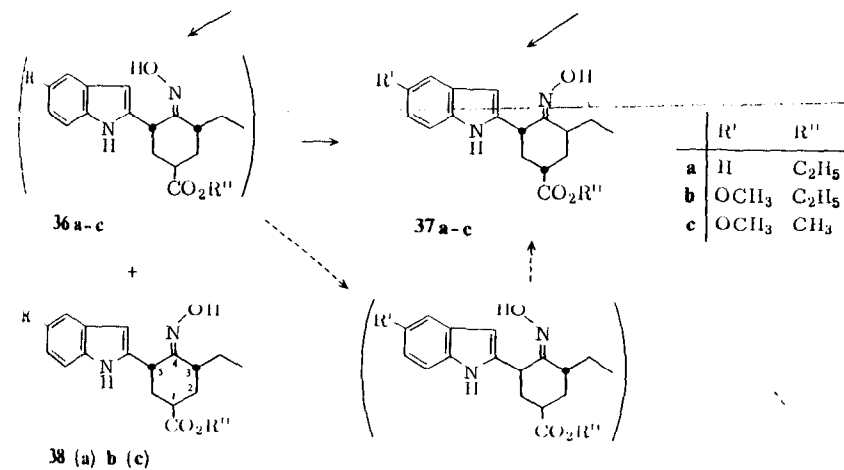
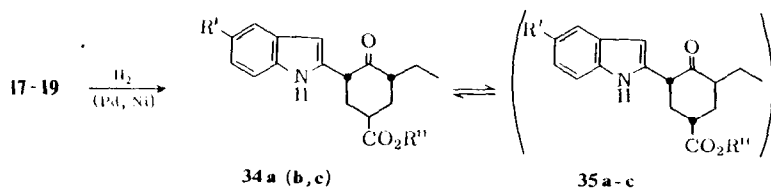
Hierbei ist nicht DC nachweisen Substanz isoliert Ketone 34 und

\* Nach eigenen eine vinyloge



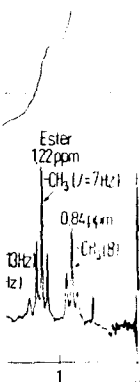
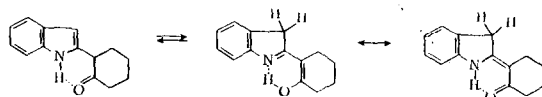
H, wie es in dieser Ver-  
Oximgruppe mit dem  
d unter Verlassen der  
t wird. Damit gelangt  
erseits eine Rotations-  
dürften sich z. T. die  
l.  
ler Konformeren auch  
kte 32a, b gegenüber  
2a 5.03 ppm). Hierbei  
ld verschobene Signal  
nenes als äquationale  
druck der Oximgruppe  
rennbare Verdopplung  
tonen. Diese deutlich  
Gegensatz zu den zu-  
yclisierung der cis-  
sorgfältige Beachtung

Amn hydriert, direkt weiter zu den Epi-Alkaloiden führt, ihn kommt damit die Struktur  
des Oxims von Keton 35a zu, welches nicht isoliert werden kann. Dieser Befund ist so zu  
verstehen, daß in Lösung offenbar ein leicht einstellbares Gleichgewicht zwischen 34 und 35  
existiert, welches z. B. über die entsprechende, zum Indol konjugierte Enolform formuliert  
werden kann<sup>9)</sup>. (Auf die Strukturen, die bei 2-(2-Indoly)ketonen auftreten können, werden  
wir noch gesondert eingehen.) Daß dieses Gleichgewicht hier und nicht bei den anderen  
Ketonen gut beobachtet werden kann, hängt mit dem sehr geringen Energieunterschied  
(Differenz der Konformationsenergien von 1-Ester- und 3-Äthylseitenkette) der Isomeren  
zusammen, der bei niedrigen Aktivierungsenergien zu etwa gleichwertiger Verteilung  
führt. Dies bedeutet jedoch auch, daß ohne Eingriff in dieses Gleichgewicht ein sehr erheb-  
licher Teil an Substanz für den weiteren Syntheseweg verloren ginge. Die Oximierung hat  
somit an dieser Stelle die Bedeutung einer Stereokontrolle, man erhält aus reinem *trans*-  
Daketon gut 70% an z. B. 37a.



Hierbei ist nicht nur das Ketongleichgewicht maßgebend, sondern wir konnten mittels  
D<sub>2</sub> nachweisen, daß auch 36a-c sehr leicht in 37a-c übergehen, so daß 36a-c nicht in  
Substanz isolierbar waren. Wir postulieren daher für 36 die Struktur von *syn*-Oximen der  
Ketone 34 und formulieren den Übergang 36  $\rightarrow$  37 analog wie 31  $\rightarrow$  32. Für 38b kann

<sup>9)</sup> Nach eigenen Versuchen diskutieren wir jetzt ferner auch zur Erklärung der Epimerisierung  
eine vinyloge Säureamidstruktur. Vgl. auch Fußnote<sup>4)</sup> und dort bes. S. 1465.



Standard HMDSO, Gerat  
er Signale von 1a- und

omierung der beiden

man unterschiedliche  
des festen Ketons in  
ol ergibt im wesent  
vor 34a in Methanol  
leichen Bedingungen  
m, welches, zum (1)

man aufgrund des  $^1\text{H-NMR}$ -Spektrums die Struktur eines *anti*-Oxims sehr plausibel machen: es erscheint kein Proton, welches aus dem Cyclohexanonring stammt, oberhalb  $\delta = 4$  ppm, dagegen tritt ein grob als Dublett realisiertes Signal, einem Proton entsprechend, bei 3.85 ppm ( $\text{CDCl}_3/\text{HMDSO}$ ) – gleiche Lage, gleiche Signalgestalt wie bei **20** – auf. Damit käme in zwei Fällen – **31** und **37** – der Oximkonfiguration entscheidende Bedeutung bezüglich der Konfigurationsstabilität zu. Die Verhältnisse werden anhand des Formel- und Syntheschemas verdeutlicht.

Tab. 1.  $^1\text{H-NMR}$ -Signale von 5-H in Beziehung zur Oximkonfiguration

|                   | 5-H (ppm) | Signalart                                    | Lösungsmittel – Standard                 | Konfiguration                               |
|-------------------|-----------|--|--|---|
| <b>20</b>         | 2-H: 3.6  | dd, $J_{\text{AX} + \text{BX}} = 18$ Hz      | $\text{CDCl}_3/\text{CCl}_4$ (1:1) – TMS |   |
| <b>21</b>         | 3.55      | dd   | $\text{CDCl}_3$ – HMDSO                  |   |
| Oxim v. <b>23</b> | 3.69      | dd, $J_{\text{AX} + \text{BX}} = 18 - 19$ Hz | $\text{CDCl}_3/\text{DMSO}$ (1:1) – TMS  | <i>all-cis, anti</i>                        |
| <b>30b</b>        | 3.9–4.0   | d  | $\text{CDCl}_3$ – HMDSO                  | <i>all-cis, anti</i>                        |
| <b>31b</b>        | 4.7       | m oder t<br>$W_{\text{H}} = 20$ Hz           | $\text{CDCl}_3$ – TMS                    | <i>all-cis, syn</i>                         |
| <b>32a, b</b>     | 5–5.03    | d  | $\text{CDCl}_3$ – HMDSO                  | Indolyl axial<br><i>syn</i>                 |
| <b>37b</b>        | 3.55      | dd, $J_{\text{AX} + \text{BX}} = 18$ Hz      | $\text{CDCl}_3$ – HMDSO                  | $\text{C}_2\text{H}_5$ axial<br><i>anti</i> |
| <b>38b</b>        | 3.88      | dd   | $\text{CDCl}_3$ – TMS                    | 1r, 3r, 5a, 6a                              |

Auch die *trans*-Oxime lassen sich alle – wie mit DC nachgewiesen – ineinander überführen, wenn energische Bedingungen angewendet werden. So gelingt es, auch **38** in **37** umzulagern. Theoretisch sollte es möglich sein, alle *trans*-Ketonsubstanz in die wichtigsten Oxime **37** umzuwandeln, die sich in der Praxis wie auch am Modell als überhaupt stabilste aller Oxime erwiesen haben. Denn die Oximgruppe kann sich bequem „unter“ die axiale Äthylseitenkette legen und diese damit in ihrer an sich ungünstigen Konstellation abstützen. Als einzig vernünftige Struktur lassen sich daher die Oxime **37** nur als *anti*-Oxime formulieren. Interessanterweise zeigen **37a–c** im NMR bezüglich 5a-H größte Ähnlichkeit mit dem Oxim des *cis*-Ketons **23** aus der Desäthylbogaminreihe<sup>41</sup>. Dort ist, nach allem Gesagten, die *anti*-Oximkonfiguration zwingend, wie es auch die Signallage von 5-H im NMR bestätigt (vgl. Tab. 1). Daraus, daß chemische Verschiebung sowie das Kopplungsmuster nahezu identisch sind mit denen des *cis*-Desäthylbogamin-Indolketonoxims, läßt sich der Schluß ziehen, daß die axiale Äthylseitenkette in **37** durch die *anti*-Oximgruppe hinsichtlich der mittels NMR nachweisbaren Ringverdrillung energetisch kompensiert wird. Wie aus Tab. 1 hervorgeht, zeigen die ungestörten Oxime **37** das 5-H-Signal als X-Teil eines ABX-Systems klassisch als doppeltes Dublett, wie es auch ähnlich bei Indolketonen (**21**) selbst erscheint. *anti*-Oxime der *cis*-Ketone mit Beeinflussung der Äthylseitenkette durch die Oximgruppe ergeben bei ähnlicher Feldstärke eine deutliche Verzerrung in dem Sinne, daß nunmehr lediglich ein Dublett mit Verbreiterung der Signale sichtbar ist. *syn*-Oxime dagegen zeigen ein stark feldverschobenes 5-H-Signal mit entsprechender Entstellung (verzerrtes Triplett o. ä.).

## Die Endphasen

Mit der Darstellung des stereochemischen Verhältnisses zu den *cis/trans*-Diastereomeren schwerer löslich, jedoch nicht Schutzgasatmosphäre zu den Isochiralen Konfigurationsansatz la



**39a:** R  
**39b:** R  
(*cis*)



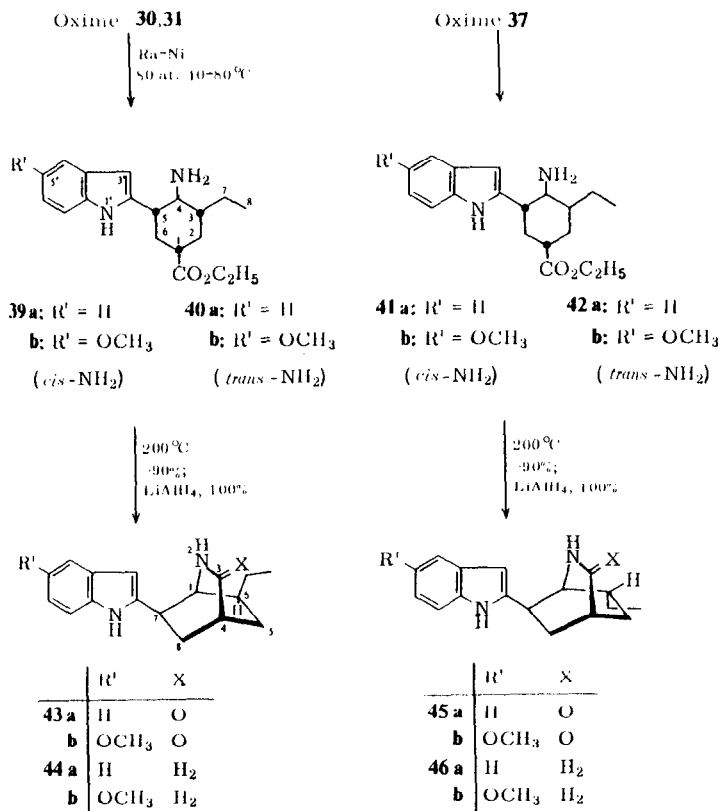
**43:**

**44:**

Die für die Aldehyd von  $\gamma$ -Carbolinone **62**, desgleichen Aldehyde des Cyclohexanonring beobachtet, die  $\delta = 2.1 - 2.7$  pp

Die Endphase der Synthese

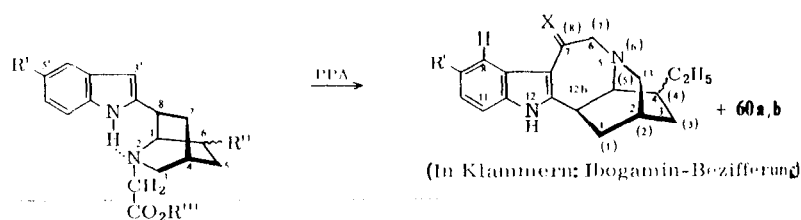
Mit der Darstellung der Oxime 37 (Epiiboga-Reihe) sowie 30 und 31 (Iboga-Reihe) ist das stereochemische Hauptproblem gelöst. Die katalytische Druckhydrierung der Oxime zu den *cis/trans*-Aminen ist unter den gewählten Bedingungen unproblematisch. Die Diastereomerentrennung wird dadurch vereinfacht, daß die *cis*-Amine in Methanol schwerer löslich sind als die mitunter nicht kristallinen *trans*-Amine. Diese Trennung ist jedoch nicht unbedingt notwendig, da beim Erhitzen des Isomergemisches unter Schutzgasatmosphäre auf über 200°C die *cis*-Amine nahezu quantitativ einen Ringschluß zu den Isochinuclidonen im Sinne des Synthesefortschrittes erleiden. Aus dem Cyclisierungsansatz lassen sich dann mitunter die *trans*-Amine, frei von *cis*-Amin, rein erhalten.



Die für die Alkaloidsynthesen wertlosen *trans*-Amine können jedoch für die Darstellung von  $\gamma$ -Carbolinen eingesetzt werden. Wir setzten Amin 40 a mit Formaldehyd um und erhielten 62, desgleichen verliefen Probeansätze anderer *trans*- und *cis*-Amine mit verschiedenen Aldehyden zu chromatographisch einheitlichen Produkten. In 62 sind Indol- und Cyclohexanring nahezu synplanar angeordnet. Dies hat, wie schon bei den Indolketonen beobachtet, die Verschiebung des 1e-Signals zu tiefem Feld zur Folge: im Bereich von  $\delta = 2.1 - 2.7$  ppm signalisieren 5 Protonen [1e, 2a, 4a, 5( $\uparrow$ D<sub>2</sub>O), 11b].

Wie bei den mittels Boranatreduktion aus den Indolketonen hervorgehenden Alkoholen läßt sich die Konfiguration der Amine an C-4 unabhängig von der chemischen Reaktivität erkennen. So zeigt das wichtige Amin **39a** oberhalb  $\delta = 2$  ppm drei diskrete Protonensignale: 4c-H bei 3.11 ppm als schmales symmetrisches Signal ( $W_{11} = 8$  Hz), 5a-H 2.8 ppm als breites, durch Axialkopplung mit 6a-H nicht sichtbar unterteiltes Plateau ( $W_{11} = 32$  Hz), 1a-H als symmetrisch ansteigender Hügel erkennbar bei 2.4 ppm ( $W_{11} = 34$  Hz). Ein 6c-H ist in diesem *cis*-Amin nicht oberhalb 2 ppm zu erkennen. Da **39a** gegenüber **40a**, dem *trans*-Amin, eine im NMR deutlich verstärkte H-Brücke (**39a**: Indol-NH 9.4, **40a**: 9.0 ppm,  $\text{CDCl}_3/\text{HMDSO}$ , 100 MHz) erkennen läßt, steht im *cis*-Amin der Indolring jetzt vorwiegend etwa senkrecht zu der Cyclohexanebene. Bei den *cis/trans*-isomeren Alkoholen wurde kein Unterschied in der Verschiebung des Indol-NH-Signals beobachtet.

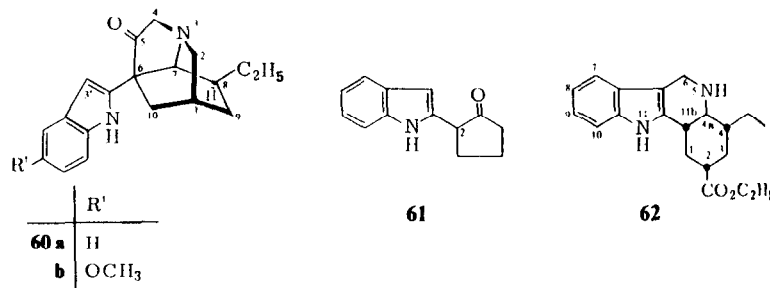
Alle vier *cis*-Amine **39** und **41** lassen sich in der oben beschriebenen Weise thermisch zu den Isochinolidonen **43** und **45** umsetzen, womit die Fixierung der sterischen Zentren abgeschlossen ist. Der Lactamringschluß läßt sich in jedem Fall durch die gegenüber der Estergruppe verschobene IR-Schwingung sowie durch die chem. Verschiebung von 1e-H (**43b**:  $\delta = 3.5$  ppm), durch die *N*-Acylierung bedingt, erkennen.



|           | R'               | R'' <sup>a)</sup>                             | R'''                          |           | R'               | C <sub>2</sub> H <sub>5</sub> <sup>b)</sup> | X              |
|-----------|------------------|---|-------------------------------|-----------|------------------|---|----------------|
| <b>47</b> | H                | H   | C <sub>2</sub> H <sub>5</sub> | <b>54</b> | H                | <i>endo</i>                                 | O              |
| <b>48</b> | H                | C <sub>2</sub> H <sub>5</sub> ( <i>endo</i> ) | C <sub>2</sub> H <sub>5</sub> | <b>55</b> | H                | <i>exo</i>                                  | O              |
| <b>49</b> | H                | C <sub>2</sub> H <sub>5</sub> ( <i>exo</i> )  | C <sub>2</sub> H <sub>5</sub> | <b>56</b> | OCH <sub>3</sub> | <i>endo</i>                                 | O              |
| <b>50</b> | OCH <sub>3</sub> | C <sub>2</sub> H <sub>5</sub> ( <i>endo</i> ) | C <sub>2</sub> H <sub>5</sub> | <b>57</b> | H                | <i>endo</i>                                 | H <sub>2</sub> |
| <b>51</b> | H                | C <sub>2</sub> H <sub>5</sub> ( <i>endo</i> ) | H                             | <b>58</b> | H                | <i>exo</i>                                  | H <sub>2</sub> |
| <b>52</b> | H                | C <sub>2</sub> H <sub>5</sub> ( <i>exo</i> )  | H                             | <b>59</b> | OCH <sub>3</sub> | <i>endo</i>                                 | H <sub>2</sub> |
| <b>53</b> | OCH <sub>3</sub> | C <sub>2</sub> H <sub>5</sub> ( <i>endo</i> ) | H                             |           |                  |   |                |

a) *endo*: C<sub>2</sub>H<sub>5</sub> der -C-N- Brücke zugewandt.

b) *endo*: C<sub>2</sub>H<sub>5</sub> der Methano-Brücke (C-13) zugewandt.



Sehr glatt 1  
Hydridredukt  
Kristallin erha  
Einheitliche  
Bromessigsäure  
nicht weiterver  
lassen sich ein  
erscheint bei s  
Kraftige H-Br  
Dies mag ein C  
ester auch be  
Ammoniumve  
Der Isochinol  
ten eine Aufsp  
2.65 ppm ( $J =$   
zwischen Grün  
scheint daher  
tes Dublett an

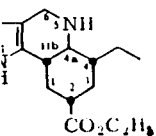
Das sicherst  
st die H-Brück  
Verbindungen  
durchführen. /  
realisieren. Die  
am vollständig  
wur gefunden z  
einen zweiten,  
nahezu gleiche  
im IR das Vorl  
Acylierung der  
zu sein. Die in  
Oxoalkaloid,  
wie *trans*-I

Die letzte St  
quantitativer A  
konnten bei kl  
erreicht werde  
und vorletzten

Das vorliegen  
allen bisher be  
schlich der b  
zurück. Die Ste  
Trennung realis  
rational darstel

enden Alkoholen  
ischen Reaktivität  
skrete Protonen-  
Hz), 5a-H 2.8 ppm  
au ( $W_H = 32$  Hz).  
34 Hz). Ein 6c-H  
gegenüber 40a, dem  
9.4, 40a: 9.0 ppm.  
ring jetzt vorwie-  
meren Alkoholen  
beobachtet.  
weise thermisch zu  
sterischen Zentren  
ch die gegenüber  
Verschiebung von

$C_2H_5$   
(\*) + 60a, b  
(\*)  
n-Bezifferung)



62

Sehr glatt und ohne erkennbare Nebenreaktion erfolgt weiter die Lithiumaluminiumhydridreduktion der Lactame zu den Isochinuclidinen. Diese wurden jedoch nur teilweise kristallin erhalten (Verbindungen 46a, b, beide aus der Epi-Reihe) und sonst, nachdem ihre Einheitlichkeit mittels DC überprüft war, sofort zu den Aminosäuren 48–50 mittels Bromessigester-Alkylierung weiterverarbeitet. Aus Rationalisierungsgründen wurde 46b nicht weiterverarbeitet. Die Ester sind kristallin. Wie am Beispiel 48 näher erläutert, lassen sich einige interessante NMR-spektroskopische Details erkennen. Das Indol-NH erscheint bei sehr tiefem Feld ( $\delta = 11.2$  ppm,  $CDCl_3/TMS$ , 90 MHz), hierdurch wird eine kraftige H-Brücke zum Chinuclidin-N angezeigt, wodurch dieser nicht durchschwingt. Dies mag ein Grund dafür sein, daß bei der Alkylierung der Isochinuclidine mit Bromessigester auch bei Anwendung eines Überschusses an Alkylierungsmittel keine quartäre Ammoniumverbindung beobachtet wurde. Die hierdurch bedingte starke Asymmetrie der Isochinuclidinbrücke verursacht im Zusammenhang mit der Fixierung des Indolaromaten eine Aufspaltung der 3-Methylenprotonen, denen wir ein AX-System bei  $\delta = 3.42$  und 2.65 ppm ( $J = 8$  Hz) zuordnen. Die Kopplung mit 4-H entfällt weitestgehend aus geometrischen Gründen. Desgleichen entfällt die Kopplung von 1-H mit 6- und 8-H. 1-H erscheint daher als schmales Signal bei  $\delta = 2.77$  ppm und 8-H als verzerrtes Triplett (doppeltes Dublett angedeutet durch Kopplung mit 7-Methylen) bei 3.0 ppm.

Das sicherste Indiz für die *cis*-Orientierung von Indolylrest und Isochinuclidinbrücke ist die H-Brücke. Nach Verseifen des Aminoesters zur Säure läßt sich daher bei diesen Verbindungen ein Ringschluß in die Indol- $\beta$ -Stellung mittels Polyphosphorsäure (PPA) durchführen. Am Desäthylchanobogamin ließ sich dieser Ringschluß mit 47% Ausbeute realisieren. Die Ausbeute an 8-Oxodesäthylbogamin betrug jedoch nur ca. 10% und steigt am vollständigen Gerüst 54–56 wieder auf ca. 31% an. Eine Ursache hierfür glauben wir gefunden zu haben. Es gelang, aus dem Cyclisierungsansatz neben dem 7-Oxoalkaloid einen zweiten, nach Analyse und Massenspektrum isomeren Körper zu isolieren, der in nahezu gleicher Ausbeute entsteht. Im NMR erkennt man freie Indol-1- und -3-Position, im IR das Vorhandensein eines 5-Ringketons (IR, KBr:  $1740\text{ cm}^{-1}$ ). Hiernach scheint eine Cyclisierung der Fischer-Base unter Epimerisierung von C-6 (Verbindung 60a, b) erfolgt zu sein. Die im sauren Medium mögliche Epimerisierung vermindert die Ausbeuten an 7-Oxoalkaloid, jedoch nicht am Desäthylchanogerüst, da dort Ringschluß sowohl aus der *cis*- wie *trans*-Lage möglich ist.

Die letzte Stufe, Reduktion der 7-Oxoalkaloide mit Lithiumalanat, führt in praktisch quantitativer Ausbeute zum Ziel. Infolge ausgeprägter Oxidationsneigung der Endprodukte konnten bei kleinen eingesetzten Mengen nicht ganz die Schmelzpunkte der Literatur erreicht werden, doch belegen aufgenommene Massenspektren der Endprodukte 57–59 und vorletzten Stufen die Identität.

Das vorliegende Konzept einer Ibogaminsynthese unterscheidet sich grundlegend von den bisher bekannten Aufbaumethoden der Indolalkaloide. Der neue Weg steht hinsichtlich der benötigten Anzahl von Stufen keinesfalls hinter den Routine-Verfahren zurück. Die Stereochemie der Epi-Alkaloide läßt sich ohne zusätzliche Operation oder Trennung realisieren. Mittels unserer Indolsynthese lassen sich komplizierte Naturstoffe schnell darstellen.

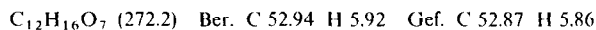
Der Deutschen Forschungsgemeinschaft sei für eine Sachbeihilfe bestens gedankt. Ferner danken wir der Fa. Merck für Hilfe bei der Darstellung der (5-Methoxy-2-nitrophenyl)essigsäure. Die NMR-Spektren wurden teilweise im hiesigen Institut für Organische Chemie angefertigt, teilweise erfreuten wir uns der großzügig gewährten Beihilfe der Spektroskopischen Abteilung im Institut für Organische Chemie der Universität Würzburg, wofür wir ebenfalls danken.

### Experimenteller Teil

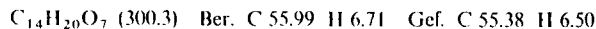
Die  $R_f$ -Werte beziehen sich auf DC-Kieselgel-Fertigplatten „Merck“. Die Schmelzpunkte sind nicht korrigiert. Alle  $^1\text{H-NMR}$ -Spektren wurden, wo nicht anders vermerkt, in  $\text{CDCl}_3$  gemessen. Bei Zusatz von DMSO erfolgt Angabe des  $\text{CHCl}_3$ -Peaks als Maß des Mischungsverhältnisses  $W_H$  = Signalbreite in  $\frac{1}{3}$  Höhe vom Fuß. HMDSO = Hexamethyldisiloxan, dd = X-Teil des ABX-Spektrums, N = Nonett (1 : 2 : 1, 2 : 4 : 2, 1 : 2 : 1).

1) 1,3,3,5-Pentatetracarbonsäure-tetramylester: 0.1 g Natrium werden in 150 ml absol. Methanol gelöst. Man fügt 13.2 g (0.1 mol) Malonsäure-dimylester und danach 17.2 g (0.2 mol) Acrylsäure-mylester in solchem Tempo zu, daß die Lösung eben siedet. Ist aller Acrylester zugegeben, beläßt man 1 h bei 60°C. Der Pentanester kristallisiert über Nacht bei 0°C in Form glasklarer Kristalle. Die Mutterlauge wird, mit Eisessig neutralisiert, eingeeengt, mit Wasser versetzt und ausgeäthert. Der Äther-Rückstand wird aus Methanol/Wasser umkristallisiert. Ausb. insgesamt über 90%, Schmp. 45°C. —  $^1\text{H-NMR}$  (60 MHz, TMS): 1-/2-H, 4-/5-H  $\cong$   $\text{A}_2\text{B}_2$  (8H)  $\delta$  = 2.22 ppm.

2) 4-Oxo-1,1,3-cyclohexantricarbonsäure-trimylester (1): Zu einer Lösung von 23 g (1 mol) Natrium in 250 ml absol. Methanol werden noch heiß 132 g (1 mol) Malonsäure-dimylester gegeben. Zur warmen Mischung werden darauf 172 g (2 mol) Acrylsäure-mylester in dem Tempo zugegeben, daß der Ansatz ständig siedet. (Sollte Natriummalonester ausgefallen sein, ist Versuchs beim Einlaufenlassen des Acrylesters geboten, ein evtl. sich auf der Oberfläche ansammelnder Überschuß kann heftig reagieren!) Nach Beendigung der Zugabe erwärmt man im Ölbad (110°C) 1 h unter Rückfluß, worauf das Methanol vollständig, gegen Ende i. Vak., abgetrieben wird. Zu Beginn beginnt die Kristallisation des Na-Enolats, das zum Schluß als gelblicher, fester Kristallkuchen erhalten wird. Dieser wird nach Abkühlen mit Äther aufgeschlämmt, wobei gelbe Verunreinigungen in Lösung gehen. Das fast farblose Salz wird in kaltem Wasser gelöst und mit Säure als farbloses  $\text{FeCl}_3$ -positiver Tricarbonester vom Schmp. 54°C ausgefällt. Die Mutterlauge wird mit Äther ausgezogen und durch Tiefkühlung (-60°C) weiteres kristallines Material erhalten. Ausb. mindestens 220–230 g (80–83%). —  $^1\text{H-NMR}$  ( $\text{CCl}_4/\text{TMS}$ , 60 MHz): 1- $\text{CO}_2\text{CH}_3$   $\delta$  = 3.68 ppm (6H); 3- $\text{CO}_2\text{CH}_3$  3.72 (3H); 2-H 2.68 (2H,  $W_H$  = 5 Hz); 5-, 6-H ( $\text{A}_2\text{B}_2$ ) 1.85–2.5 (4H).



3) 3-Äthyl-4-oxo-1,1,3-cyclohexantricarbonsäure-trimylester (3): 220 g 1 werden mit 450 g fein gepulvertem, frisch geglühtem Kaliumcarbonat, 500 ml absol. Aceton und 150 g Äthylacetat unter Feuchtigkeitsausschluß 12 h unter Rückfluß (Ölbad 80°C) gekocht. Das Ende der Reaktion erkennt man am Ausbleiben der Enolreaktion. Nach dem Abkühlen wird das Aceton abgedunstet, das Kaliumcarbonat in Eiswasser gelöst, die Lösung ausgeäthert und die Ätherphase mit dem Aceton vereinigt. (Das Aceton wird vorher zweckmäßig weitgehend entfernt.) Durch kurzes Ausschüteln der Ätherphase mit kalter 2N NaOH geht eine gelbe Verunreinigung in die wäßr. Phase. Die Ätherlösung wird neutral gewaschen und getrocknet. Man erhält als Rückstand ein farbloses Öl, welches beim Anreiben kristallisiert. Es wird aus Isopropylalkohol bei -20°C ausgefroren, Schmp. 77°C, Ausb. 180 g (75%). —  $^1\text{H-NMR}$  (60 MHz, TMS): Ester  $\delta$  = 3.7, 3.68, 3.62 ppm (9H); Äthyl-(CH<sub>2</sub>, 0.8 (t, J = 7 Hz).



4) 3-Äthyl-4-misch. Hierzu in 1 Liter Wasser ansetzt. Ist als gelbe Lösung evtl. vorhandene Salzsäure stark entfernen des im offenen Kc 143 und 155°C.

Die cis-Vert mit Petroläthe (100 MHz): 1a-

5) cis-3-Äthyl-Hydroxylamin Zeit auf 50°C kristallisiert. (100 MHz): 5e-  
 $\text{C}_9\text{H}_{15}$

6) 3-Äthyl-4-... den mit 1 Liter Nach dem Abkühlen versetzt, mit Äther Rückstand 170 g (85%).

7) 3-Äthyl-4-... mit Methanol.

8) 5-Äthyl-4-... 500 ml Morphoc Rückfluß gekocht Toluol sowie in saungelben Ri geht 8 als leicht hydrolysestabil, 6-stündige Vers chlorids (98%).

9) 5-Äthyl-4-n Ausb. 215 g (81)

10) 3-Methyl-2-Methylcyclohex-

Allgemeine Verfahren: 3-Äthyl-4-oxo-1,1,3-cyclohexantricarbonsäure-trimylester (3) wird in absol. Dimethylacetat gelöst, bis die (2–3 h) Gelöste

edankt. Ferner danken  
phenyllessigsäure. Die  
ie angefertigt, teilweise  
teilung im Institut für

ie Schmelzpunkte sind  
t, in  $CDCl_3$  vermessen  
Mischungsverhältnisses  
dd = X-Teil des ABX

den in 150 ml absol.  
danach 17.2 g (0.2 mol)  
st aller Acrylester zuge-  
0°C in Form glasklaren  
/asser versetzt und aus-  
l. Ausb. insgesamt über  
2 (8H)  $\delta = 2.22$  ppm  
sion von 23 g (1 mol)  
lonsäure-dimethylester  
thylester in dem Tempo-  
fallen sein, ist Vorsicht  
erfläche ansammelnder  
man im Ölbad (110°C)  
betrieben wird. Zuvor  
fester Kristallkuchen  
gelbe Verunreinigungen  
mit Säure als farblose  
ige wird mit Äther aus-  
alten. Ausb. mindestens  
3  $\delta = 3.68$  ppm (6H)  
5 (4H).

H 5.86

I werden mit 450 g kca  
und 150 g Äthyljodid  
Das Ende der Reaktion  
das Aceton abgeseigt  
herphase mit dem Ace-  
sch kurzes Ausschütteln  
wäBr. Phase. Die Äther  
in farbloses Öl, welches  
gefroren, Schmp 77°C  
ppm (9H); Äthyl (11,

H 6.50

h) 3-Äthyl-4-oxo-1-cyclohexancarbonsäure (5): 300 g (1 mol) 3 werden mit 200 ml Methanol ver-  
mischt. Hierzu gibt man portionsweise, nach Maßgabe des Verbrauchs, insgesamt 200 g NaOH,  
in 1 Liter Wasser gelöst, wobei darauf geachtet werden soll, daß die Temperatur nicht über 30°C  
steigt. Ist alles zugegeben, läßt man 1 h bei Raumtemp. stehen und erwärmt darauf die leicht  
gelbe Lösung noch 10 h auf 70°C. Nach dem Abkühlen schüttelt man einmal mit Äther aus, um  
mit vorhandene, nicht saure Bestandteile zu entfernen, säuert darauf vorsichtig ( $CO_2!$ ) mit konz.  
Salzsäure stark an und extrahiert wiederum mehrfach mit Äther. Nach Trocknen ( $Na_2SO_4$ ) und  
Entfernen des Lösungsmittels hinterbleibt ein gelbliches, zähes Öl, welches zur Decarboxylierung  
in offenen Kolben auf 160°C erhitzt wird (Ölbad). Die Verbindung wird dann i. Vak. zwischen  
130 und 155°C/0.3 Torr destilliert. Ausb. 145 g (85%).

Die cis-Verbindung erhält man durch Vermischen mit der dreifachen Menge Toluol, Versetzen  
mit Petroläther und Aufbewahren bei -20°C; Nadeln, Schmp. 65°C<sup>9)</sup>. - <sup>1</sup>H-NMR (HMDSO,  
100 MHz): 1a-H  $\delta = 2.76$  ppm (N,  $J_{1a,2a} = J_{2a,6a} = 12$  Hz,  $J_{1a,2c} = J_{1a,6c} = 2-3$  Hz).

h) cis-3-Äthyl-4-anti-hydroxyimino-1-cyclohexancarbonsäure (5a): Gleiche Mengen cis-5 und  
Hydroxylamin-hydrochlorid werden in Wasser vermischt, langsam mit  $Na_2CO_3$  gelöst und kurze  
Zeit auf 50°C erwärmt. Man fällt das Oxim in der Kälte mit Salzsäure als Öl, welches beim Anreiben  
kristallisiert. Nach Umlösen aus Methanol/Wasser Schmp. 136°C. - <sup>1</sup>H-NMR (HMDSO,  
100 MHz): 5c-H  $\delta = 3.35$  ppm ( $W = 42$  Hz); 1a-H 2.53 (N,  $W = 32$  Hz).

$C_9H_{13}NO_3$  (185.2) Ber. C 58.36 H 8.16 N 7.56 Gef. C 58.11 H 7.05 N 7.30

i) 1-Äthyl-4-oxo-1-cyclohexancarbonsäure-äthylester (7): 170 g 5 (Isomerenmischung) (1 mol) wer-  
den mit 1 Liter absol. Äthanol und 5 ml konz. Schwefelsäure über Nacht unter Rückfluß erhitzt.  
Nach dem Abkühlen wird der Hauptteil des Alkohols i. Vak. entfernt, der Rückstand mit Wasser  
versetzt, mit Äther ausgeschüttelt, und die ätherische Phase mit Sodälösung neutral gewaschen.  
Der Rückstand wird i. Vak. destilliert. Der Ester geht ohne Vorlauf bei 94°C/1 Torr über. Ausb.  
100 g (85%).

j) 1-Äthyl-4-oxo-1-cyclohexancarbonsäure-methylester (6): Wie vorstehend aus 170 g 5 (1 mol)  
in Methanol. Ausb. 155 g (85%), Sdp. 75°C/0.4 Torr.

k) 3-Äthyl-4-morpholino-3-cyclohexen-1-carbonsäure-methylester (8): 184 g (1 mol) 6 werden mit  
20 ml Morpholin und 200 ml Toluol unter Benutzung eines Wasserabscheiders 4 Tage unter  
Rückfluß gekocht. (Auf die Verwendung eines sauren Katalysators wird verzichtet.) Man entfernt  
Toluol sowie überschüss. Morpholin i. Vak. (Rotationsverdampfer, Bad 50°C) und destilliert den  
gelben Rückstand im Hochvakuum. Nach geringem Vorlauf von Morpholin und Toluol  
bleibt als leicht gelbliches Öl bei 124°C/0.2 Torr über. Ausb. 200 g (79%). Das Enamin ist auffallend  
hydrolysestabil, eine normale Titration nicht durchführbar. Die Gehaltsbestimmung erfolgte durch  
stündige Verseifung mit 5 N HCl bei 100°C und Auswiegen des gebildeten Morpholin-hydro-  
chlorids (98%).

l) 3-Äthyl-4-morpholino-3-cyclohexen-1-carbonsäure-äthylester (9): Wie vorstehend mit 198 g 7.  
Ausb. 215 g (81%), Sdp. 136°C/0.25 Torr.

m) 3-Methyl-2-morpholino-1-cyclohexen (10): Analog, wie bei 8) beschrieben. Aus 112 g (1 mol)  
3-Methylcyclohexanon und 200 g Morpholin erhielt man 145 g (80%) Enamin. Sdp. 75°C/0.2 Torr.

Allgemeine Vorschrift zur Darstellung der Diketone 11-19: Zur Suspension von 0.11 mol (2-Nitro-  
phenyl)essigsäure [bzw. (5-Methoxy-2-nitrophenyl)essigsäure] in 100 (bzw. 150) ml absol. Methy-  
lenchlorid (über  $P_2O_5$  destilliert) gibt man 8.5 ml (0.11 mol) Thionylchlorid sowie 20 Tropfen  
absol. Dimethylformamid und erwärmt unter Feuchtigkeitsausschluß so lange zum schwachen  
Sieden, bis die Mischung klar geworden und die Gasentwicklung fast vollständig beendet ist.  
Die gelösten Gase werden darauf weitgehend entfernt, indem trockene Luft durch die Reaktions-

lösung geleitet wird, bis das Flüssigkeitsvolumen auf ca. 50 ml eingengt worden ist. Man ergänzt mit trockenem Methylenchlorid auf 100 ml, filtriert durch Glaswolle und tropft zu einer mit Eiswasser gekühlten Mischung aus 0.1 mol Enamin 8 – 10, 150 absol. Methylenchlorid und 3 ml Triäthylamin. Nach jeweils 25 ml Zugabe der Säurechloridlösung werden weitere 5 ml Triäthylamin zugegeben (insgesamt 23 ml). Die Zugabe erfolgt innerhalb 4–5 h, die Temp. soll +10°C nicht überschreiten. Man läßt sodann mindestens 12 h stehen, zieht danach das Lösungsmittel i. Vak. möglichst vollständig ab, vermischt unter Kühlung mit 40 ml 5 N HCl und rührt 6 h bei Raumtemperatur. Nach Zugabe von 100 ml kaltem Wasser extrahiert man mit Methylenchlorid, trocknet, engt ein und trennt über eine ausreichend dimensionierte Kieselgel-Säule (40 × 500 mm) dunkle Verunreinigungen vom gelben, die Säule alsbald passierenden Diketon (FeCl<sub>3</sub>) ab (Methylenchlorid als Laufmittel, evtl. geringe Zugabe von Essigester).

Die Diketonfraktion wird eingengt, das resultierende braungelbe Öl mit der drei- bis vierfachen Menge Methanol oder Äthanol vermischt und die Mischung mit ca. 100 ml einer gesätt. wäss. Kupfer(II)-acetatlösung solange versetzt, bis die über der – durch Anreiben kristallinen – Abscheidung stehende Lösung deutlich grün gefärbt ist. (Hierbei geht im Falle von 14 etwas *cis*-Anteil der schwer enolisiert, verloren.) Man läßt einige h bei Raumtemp. stehen, saugt den Kupferkomplex ab und wäscht mit Alkohol/Äther nach. Der Cu<sup>II</sup>-Komplex ist gut lagerfähig. Aus ihm wird das Diketon mit 4 N H<sub>2</sub>SO<sub>4</sub> freigesetzt. Hierzu wird der in Äther bzw. Methylenchlorid suspendierte Komplex mit der Säure intensiv gerührt oder geschüttelt, bis die organische Phase keinen Geruch mehr aufweist. Diese wird dann mit Wasser neutral gewaschen und nach Trocknen mit Natriumsulfat eingengt. Zur Kristallisation wird die Lösung des Rückstands in Methanol oder Äthanol vorsichtig abgekühlt. Nach einiger Zeit, insbesondere nach Animpfen mit *trans*-Diketon, kristallisiert die Gesamtmenge. Die angegebenen Schmelzpunkte beziehen sich, wo nicht anders angegeben, auf das Isomerengemisch.

11) 2-[5-Methoxy-2-nitrophenyl]acetyl]-6-methyl-1-cyclohexanon (20): Man erhält 14.4 g farblose bis leicht gelbliche Kristalle (61%) vom Schmp. 120°C (Methanol). FeCl<sub>3</sub>: positiv, die Verbindung liegt weitgehend nicht enolisiert vor. – <sup>1</sup>H-NMR (CCl<sub>4</sub>/CDCl<sub>3</sub>, 1:1, HMDSO 100 MHz): 2a-H δ = 3.6 ppm (dd, J<sub>AX</sub> + J<sub>BX</sub> = 19.5 Hz); 6a-H 2.4 (m); Benzyl-CH<sub>2</sub> 4.02 (AB, J<sub>AB</sub> = 17 Hz, Δν = 32 Hz); 6-CH<sub>3</sub>: 0.95 (d).

C<sub>16</sub>H<sub>19</sub>NO<sub>5</sub> (305.3) Ber. C 62.94 H 6.27 N 4.59 Gef. C 62.75 H 6.47 N 4.47

12) 3-Äthyl-5-[(2-nitrophenyl)acetyl]-4-oxo-1-cyclohexancarbonsäure-äthylester (12, 17): Ausb. 18.2 g (50%) Gemisch (17:12 = 3.5:1 nach NMR), Schmp. 39–41°C.

C<sub>19</sub>H<sub>23</sub>NO<sub>6</sub> (361.4) Ber. C 63.14 H 6.42 N 3.88 Gef. C 63.35 H 6.29 N 3.73

13) 3-Äthyl-5-[(5-methoxy-2-nitrophenyl)acetyl]-4-oxo-1-cyclohexancarbonsäure-methylester (13, 18): Ausb. 26.4 g (70%), leicht gelbliche Nadeln vom Schmp. 82°C (18:13 = 8:3). – <sup>1</sup>H-NMR (TMS, 60 MHz): Enol 13: δ = 15.45, 18: 15.15 ppm.

C<sub>19</sub>H<sub>23</sub>NO<sub>7</sub> (377.4) Ber. C 60.47 H 6.14 N 3.71 Gef. C 60.11 H 5.99 N 4.01

14) 3-Äthyl-5-[(5-methoxy-2-nitrophenyl)acetyl]-4-oxo-1-cyclohexancarbonsäure-äthylester (14, 19): Ausb. 26 g (66%), Schmp. 82–83°C.

15) Epimerisierung des *trans/cis*-Isomerengemisches: 25 g des jeweiligen Diketons werden in 500 ml 1% HCl-Gas enthaltendem absol. Methanol oder Äthanol 48 h unter Rückfluß gekocht. Hierbei kann gleichzeitig umgeestert werden. Danach wird die Hauptmenge des Alkohols i. Vak. entfernt und der Rückstand zur Entfernung der Säure mit Methylenchlorid und Wasser, die organische Phase darauf mit Hydrogencarbonat geschüttelt. Eine nennenswerte Zersetzung wurde nicht beobachtet. Nach dem Trocknen erfolgt zweckmäßig eine Reinigung über eine kurze Kieselgel-Säule, es resultiert ein Öl, welches im allgemeinen leicht kristallisiert, z. B. 12:17 = 2:1, Schmp. 45–48°C, aus 17:12 = 3.5:1.

16) *cis,trans*-3-*Epimerisierung*

17) *cis- und trans-Methylester* (13, 18) aufgenommen, es wird durch schnelle noch heiße, auf die gleiche Verbindung fällt: lauge hiervon bleibenden *cis*-Diketon siedendem Methanol Reinigungsober 13 (95%), 13, 5%, A – 15.48 ppm.

18) Schmp. 84.

19) *cis-3-Äthyl* (14) Bei der Epimerisierung Teil der *cis*-Verbindung in Äthanol um. Gemisch nahezu farblos, schwerlöslich.

20) *all-cis-3-Äthyl* (14) versetztes Diketon gebildet zum Haltepunkt hydratisierter Verbindung und engt auf 100 ml Erhebung hinzu, er kristallisiert aus. Aus 18°C, farblose Nadeln, 5a-H 3.9 (dd)

C<sub>19</sub>H<sub>23</sub>NO

21) *all-cis-3-Äthyl* (14) vorstehend aus 3.8 *cis*-Anteil des Diketons (13, 18) 3-H 6.25, 6.02 C<sub>19</sub>H<sub>23</sub>NO

22) *all-cis-3-Äthyl* (14) erhält man aus 123°C. Die Ausbeute C<sub>20</sub>H<sub>25</sub>NO

23) *3t-Äthyl-5t* (14) 17 g (0.01 mol) nicht schwierig und ist schwierig isoliert C<sub>19</sub>H<sub>23</sub>NO



n ist. Man ergänzt  
zu einer mit Eis-  
oxid und 3 ml Tri-  
5 ml Triäthylamin  
soll + 10°C nicht  
sungsmittel (Vak-  
h bei Raumtempe-  
oxid, trocken, engt  
× 500 mm) dunkle  
l<sub>3</sub>) ab (Methylen-

drei- bis vierfachen  
einer gesätt. wasser  
kristallinen - Ab-  
14 etwas cis-Anteil  
len Kupferkomplex  
. Aus ihm wird das  
chlorid suspendierte  
Phase keinen Grund-  
nach Trocknen mit  
s in Methanol oder  
mit trans-Diketon  
ch, wo nicht anders

Man erhält 18.4 g  
FeCl<sub>3</sub>: positiv. J<sub>2</sub>  
Cl<sub>3</sub> 1:1, HMDSO  
zyl-CH<sub>2</sub> 4.02 (AK)

6.47 N 4.47

ester (12, 17) Ausb.

6.29 N 3.73

onsäure-methylester  
= 8:3). - <sup>1</sup>H-NMR

1.99 N 4.01

onsäure-äthylester (14

Diketons werden in  
er Rückfluß gekocht  
des Alkohols (Vak-  
und Wasser, die wasser-  
ersetzung wurde nicht  
eine kurze Kieselgel-  
2:17 = 2:1, Schmp.

16) *cis/trans*-3-Äthyl-5-[*(2-nitrophenyl)acetyl*]-4-oxo-1-cyclohexancarbonsäure-methylester (11, 18) Epimerisierungsgemisch, Schmp. 91°C (11:16 = 2:1, nach NMR).

17) *cis*- und *trans*-3-Äthyl-5-[*(5-methoxy-2-nitrophenyl)acetyl*]-4-oxo-1-cyclohexancarbonsäure-methylester (13, 18): Das nach der Epimerisierung gewonnene Isomerenmisch wird in Methanol aufgenommen, es fällt nach einiger Zeit bei Raumtemp. kristallin an. Die Hauptmenge der Kristalle wird durch schnelles Erwärmen wieder aufgelöst, man dekantiert vom Rückstand (= *cis*-Isomeres). Die noch heiße, abgetrennte Lösung wird rasch auf 35°C gekühlt und mit *trans*-Diketon, welches auf die gleiche Weise aus nicht epimerisiertem Gemisch erhalten wurde, angeimpft, die *trans*-Verbindung fällt so in kurzer Zeit aus, während das *cis*-Isomere in Lösung verbleibt. Die Mutterlauge hiervon bleibt längere Zeit zur Kristallisation des schwerer löslichen und schwerer kristallisierenden *cis*-Diketons stehen. Zur Reinigung der *cis*-Form werden die angereicherten Kristalle in siedendem Methanol gelöst und die Lösung langsam (pro Tag 5°C) auf 35°C abgekühlt. Diese Reinigungsoperation wiederholt man mehrfach.

11 (95%, 13, 5%, 18, NMR): Schmp. 104.5°C, gelbliche Prismen. - <sup>1</sup>H-NMR (CDCl<sub>3</sub>): Enol-H δ = 15.48 ppm.

11 Schmp. 84.5°C, farblose Nadeln. - <sup>1</sup>H-NMR (CDCl<sub>3</sub>): Enol-H δ = 15.18 ppm.

14) *cis*-3-Äthyl-5-[*(5-methoxy-2-nitrophenyl)acetyl*]-4-oxo-1-cyclohexancarbonsäure-äthylester (14): Bei der Epimerisierung des Gemisches 14/19 (bzw. der Methylester 13/18 in Äthanol) fällt ein Teil der *cis*-Verbindung als schwerlösliche Ketonform in der Kälte aus. Man saugt ab und löst in Äthanol um. Der Rückstand wird erneut epimerisiert. Auf diese Weise gelingt es, das Isomerenmisch nahezu quantitativ in die *cis*-Form 14 überzuführen. Schmp. 126°C (14, Ketonform), farblose, schwerlösliche Nadeln (Äthanol). Die Substanz gibt in der Kälte keine Enolreaktion.

15) *all-cis*-3-Äthyl-5-(*2-indolyl*)-4-oxo-1-cyclohexancarbonsäure-äthylester (24): 3.7 g epimerisiertes Diketongemisch 12/17 werden mit 3 ml Raney-Nickel in 500 ml Äthanol bei Normaldruck zum Haltepunkt hydriert und danach weitere 4 h mit Wasserstoff geschüttelt (Spuren teilschwächerer Verbindungen bedingen rasche Zersetzung!). Man trennt rasch vom Katalysator ab und engt auf 100 ml ein. Bei 50°C fügt man vorsichtig sauerstoff-freies Wasser bis zur beginnenden Trübung hinzu, erwärmt bis zum Aufklaren und läßt sehr langsam abkühlen. Dabei fällt 24 kristallin aus. Aus Äthanol/Wasser Ausb. 1.49 g (70%, bezogen auf den *cis*-Diketonanteil), Schmp. 126°C, farblose Nadeln. - <sup>1</sup>H-NMR (TMS, 90 MHz): NH δ = 8.9 ppm, 3'-H 6.45 (wenig) und 1,2'-H 3.9 (dd, J<sub>AX+BX</sub> = 20 Hz), 1a-H 2.7 (N), Ester 4.08 (q), 1.26 (t), 3-Äthyl-CH<sub>3</sub> 0.89 (t).

C<sub>19</sub>H<sub>23</sub>NO<sub>3</sub> (313.4) Ber. C 72.82 H 7.40 N 4.47 Gef. C 72.72 H 7.60 N 4.59

16) *all-cis*-3-Äthyl-5-(*5-methoxy-2-indolyl*)-4-oxo-1-cyclohexancarbonsäure-methylester (25): Wie oben, ausgehend aus 3.8 g (0.01 mol) epimerisiertem Diketongemisch 13/18, Ausb. 1.4 g (70%, ber. auf Anteil des Diketons), Schmp. 140°C. - <sup>1</sup>H-NMR (HMDSO, 100 MHz): NH δ = 9.75, 9.1 ppm; 1,2'-H 6.25, 6.08 (1:2), Ester 3.68 (s), Phenoläther 3.62, 3.58 (1:2) (s), Äthyl-CH<sub>3</sub> 0.82 (t).

C<sub>19</sub>H<sub>23</sub>NO<sub>4</sub> (329.4) Ber. C 69.28 H 7.04 N 4.25 Gef. C 69.22 H 6.82 N 4.70

17) *all-cis*-3-Äthyl-5-(*5-methoxy-2-indolyl*)-4-oxo-1-cyclohexancarbonsäure-äthylester (26): Analog erhält man aus 3.9 g epimerisiertem 14/19 insgesamt 1.5 g (70%) farblose Nadeln vom Schmp. 126°C. Die Ausbeute an 26 steigt auf 80%, wenn reines 14 eingesetzt wird.

C<sub>20</sub>H<sub>25</sub>NO<sub>4</sub> (343.4) Ber. C 69.95 H 7.33 N 4.08 Gef. C 69.69 H 7.25 N 3.80

18) *trans*-3-Äthyl-5-(*2-indolyl*)-4-oxo-1-cyclohexancarbonsäure-äthylester (34a): Ausgehend von 1.001 mol nicht epimerisiertem Diketon 12/17 analog wie oben. Das Indolketon kristallisiert schwierig und ist selbst in reinem, trockenem Zustand luftempfindlich. Es konnte nur in der Irbogmarke isoliert werden. Ausb. 1.55 g (50%), Schmp. 108°C.

C<sub>19</sub>H<sub>23</sub>NO<sub>3</sub> (313.4) Ber. C 72.82 H 7.40 N 4.47 Gef. C 72.60 H 7.37 N 4.28

23) 3*c*-Äthyl-4*c*-hydroxy-5*c*-(5-methoxy-2-indolyl)-1*r*-cyclohexancarbonsäure-äthylester (**28b**) und 3*c*,4*t*,5*c*,1*r*-Isomeres (**29b**): 2 g **26** in 100 ml Methanol werden in der Kälte portionsweise unter ständigem Rühren mit 2 g feinpulv. Natriumborant versetzt. Anschließend wird 15 min auf 60°C erwärmt. Die Hauptmenge des Lösungsmittels wird i. Vak. entfernt, der Rückstand mit Chloroform und Wasser durchgeschüttelt und die Chloroformphase in der üblichen Weise aufgearbeitet. Der Rückstand enthält die isomeren Alkohole teilweise kristallin. Man trennt mittels Säulenchromatographie (CHCl<sub>3</sub>/Essigester = 4:1), wobei als erste farblose Fraktion **28b**, gefolgt von **29b** erscheint. Die Verbindungen werden darauf aus Methanol/Wasser umkristallisiert. **28b**: Schmp. 150°C, Ausb. 750 mg, **29b**: Schmp. 96°C, Ausb. 1.1 g.

<sup>1</sup>H-NMR (HMDSO, 100 MHz, δ in ppm)

|                  | 28 b                           | 29 b                     |
|------------------|--------------------------------|--------------------------|
| NH               | 9.44                           | 9.36                     |
| 3'-H             | 6.10                           | 6.12                     |
| Ester            | 4.05 (q), 1.15 (t)             | 4.04 (q), 1.18 (t)       |
| 4e-H             | 3.86 (W <sub>11</sub> = 5 Hz)  | 4a-H: 3.15 (t, J = 9 Hz) |
| OCH <sub>3</sub> | 3.7                            | 3.75                     |
| 5a-H             | 2.76 (W <sub>11</sub> = 20 Hz) | —                        |
| 1a-H             | 2.35 (W <sub>11</sub> = 35 Hz) | —                        |
| OH               | 1.66 († D <sub>2</sub> O)      | 1.9 († D <sub>2</sub> O) |
| CH <sub>3</sub>  | 0.85 (t)                       | 0.86 (t)                 |

C<sub>20</sub>H<sub>27</sub>NO<sub>4</sub> (345.4) Ber. C 69.54 H 7.88 N 4.06  
 Gef. C 69.59 H 7.72 N 4.16 (**28b**)  
 Gef. C 69.63 H 7.69 N 4.32 (**29b**)

24) 2*c*-(5-Methoxy-2-indolyl)-6*c*-methyl-1*r*-cyclohexanol (**28a**) und 2*t*,6*t*,1*r*-Isomeres (**29a**): **24** wurden analog **26** umgesetzt und aufgearbeitet. **28a**: Ausb. 750 mg, Schmp. 198°C, **29a**: Ausb. 1.0 g, Schmp. 145°C.

<sup>1</sup>H-NMR (100 MHz, δ in ppm)

|                   | 28 a<br>(CDCl <sub>3</sub> + DMSO/HMDSO) | 29 a<br>(CDCl <sub>3</sub> /HMDSO)                |
|-------------------|--|---|
| CHCl <sub>3</sub> | 7.42                                     | 7.08  |
| NH                | 9.45                                     | 8.38  |
| 3'-H              | 6.05                                     | 6.06  |
| 1e-H              | 3.77 (W <sub>11</sub> = 8 Hz)            | 1a-H: 2.96 (t, J = 9 Hz, W <sub>11</sub> = 20 Hz) |
| 2a-H              | 2.75 (m, W <sub>11</sub> = 22 Hz)        | 2.42 (m, W <sub>11</sub> = 30 Hz)                 |
| OH                | 3.13 († D <sub>2</sub> O)                | 2.08 († D <sub>2</sub> O)                         |
| 6-CH <sub>3</sub> | 0.91 (d, J = 5 Hz)                       | 0.92 (d, J = 5 Hz)                                |
| OCH <sub>3</sub>  | 3.67 (s)                                 | 3.68 (s)  |

C<sub>16</sub>H<sub>21</sub>NO<sub>2</sub> (259.3) Ber. C 74.10 H 8.16 N 5.40  
 Gef. C 74.10 H 8.04 N 5.54 (**28a**)  
 Gef. C 73.92 H 7.91 N 5.33 (**29a**)

25) Darstellung d...  
 1.9 g (0.01 m...  
 Darstellung...  
 trierte Lösung w...  
 und unter N<sub>2</sub> 10...  
 der Rest mit Chlo...  
 carbonat entsäue...  
 des Öl zurück, e...  
 folgenden R<sub>F</sub>-We...  
 0.39. Wegen o...  
 graphische Trenn...

Analog werden...  
**37a** - **c** gewinn...  
 textl Zusatz von...  
 folgender Oximier...  
 aus Sie werden a...  
 nicht epimerisierte...  
 der **37**-Kristallisa...  
 1) Nach gering...  
 Menge, daß sie nic...  
 Oximen konnte a...  
 rungs geschwindig...

26) Darstellung d...  
 Indolketon werde...  
 amn-hydrochlori...  
 s. Lichtchromatog...  
 1) Fakt. s. Tab. 2).  
 als Laufmittel. Die...  
 lost. Hierbei entst...  
 15 min Siedehitz...

Tab 2. Ausbeute

C<sub>19</sub>H<sub>24</sub>N...  
 C<sub>20</sub>H<sub>26</sub>N...  
**30a**  
**30b**  
**31a**  
**31b**  
**32a**  
**32b**  
**37a**  
**37b**  
**37c**  
**38b**

Chemische Berichte Ja

onsäure-äthylester (28b) und  
 te portionsweise unter stan-  
 dend wird 15 min auf 60 C  
 Rückstand mit Chloroform  
 en Weise aufgearbeitet. Der  
 int mittels Säulenchromato-  
 n 28b, gefolgt von 29b er-  
 kristallisiert. 28b: Schmp

25 Darstellung der Oxime

a) 19 g (0.01 mol) nicht epimerisiertes Diketon 14/19 (1 : 3.5) werden mit Raney-Nickel, wie bei  
 der Darstellung der Indolketone 24 - 26, 34a angegeben, hydriert. Die vom Katalysator abfil-  
 trierte Lösung wird mit je 4 g Na-Acetat, wasserfrei, und Hydroxylamin-hydrochlorid versetzt  
 und unter N<sub>2</sub> 10 min zum Sieden erhitzt. Die Hauptmenge des Lösungsmittels wird abgezogen,  
 der Rest mit Chloroform und Wasser versetzt, die rötliche Chloroformphase sodann mit Hydrogen-  
 karbonat entsäuert, getrocknet und i. Vak. vollständig eingeeengt. Die Oxime bleiben als braun-  
 liches Öl zurück, ein Dünnschichtchromatogramm (CHCl<sub>3</sub>/Essigester 4 : 1) zeigt 7 Oximflecke mit  
 folgenden R<sub>F</sub>-Werten (Anhaltswerte): 33b 0.75, 32b 0.7, 37b 0.65, 31b 0.48, 36b 0.46, 30b 0.42,  
 38b 0.39. Wegen der teilweise sehr eng beieinanderliegenden R<sub>F</sub>-Werte ist eine normale chromato-  
 graphische Trennung sehr schwierig.

Analog werden 12/17 und 13/18 umgesetzt.

37a) Man gewinnt man, indem das Öl in wenig Benzol gelöst wird. Die Oxime fallen beim Anreiben  
 auf Zusatz von Impfkristallen, die man durch Hydrieren der reinen *trans*-Diketone 17 - 19 mit  
 beider Oximierung leicht erhält) mit nachfolgendem Zusatz von Petroläther nahezu quantitativ  
 ab. Sie werden aus Benzol/Äthanol umgelöst. Die Ausbeuten betragen gut 40%, bezogen auf das  
 nicht epimerisierte Diketongemisch. Zur Isolierung der anderen Oxime engt man die Mutterlauge  
 zur 37-Kristallisation ein und trennt über eine ca. 1 m lange Kieselsäule (CHCl<sub>3</sub>/Essigester  
 4 : 1). Nach geringem, stark gefärbtem Vorlauf erscheinen zunächst die Oxime 33 in so geringer  
 Menge, daß sie nicht isoliert werden konnten. Es folgen 32 und der Rest von 37. Von allen weiteren  
 Oximen konnte auf diese Weise in der Ibogainreihe lediglich noch 38b mit der kleinsten Wande-  
 lungsgeschwindigkeit erfaßt werden.

b) Darstellung der Oxime 30 - 32: Man geht von den *cis*-Ketonen 24 und 26 aus. 4 g (ca. 0.015 mol)  
 Diketon werden mit der gleichen Gewichtsmenge Natriumacetat (wasserfrei) und Hydroxyl-  
 amin-hydrochlorid in 75 ml Methanol (Äthanol, ketonfrei) umgesetzt. Die Reaktion kann dünn-  
 schichtchromatographisch verfolgt werden (die Oxime haben sämtlich kleinere R<sub>F</sub>-Werte als das  
 Edukt, s. Tab. 2). Die Aufarbeitung erfolgt säulenchromatographisch mit CHCl<sub>3</sub>/Essigester (4 : 1)  
 als Laufmittel. Die Oxime 32 werden aus Äthanol/Wasser, 30 und 31 aus Benzol/Petroläther umge-  
 löst. Hierbei entstehen 32a, b in der Kälte nur in mit DC nachweisbarer Menge. Beim Erwärmen  
 (ca. 100°C Siedehitze) erhält man die angegebenen Ausbeuten.

Tab. 2 Ausbeuten und analytische Daten der Oxime 30 - 32 sowie 37, 38 (R<sub>F</sub>-Werte: DC auf  
 Kieselgel, Laufmittel Chloroform/Essigester 4 : 1)

|   | C     | H    | N    | Schmp. | R <sub>F</sub> | Ausb.   | erhalten aus |
|---|-------|------|------|--------|----------------|---------|--------------|
| C <sub>19</sub> H <sub>24</sub> N <sub>2</sub> O <sub>3</sub> (328.4) | 69.49 | 7.37 | 8.53 |        |                |         |              |
| C <sub>20</sub> H <sub>26</sub> N <sub>2</sub> O <sub>4</sub> (358.4) | 67.02 | 7.31 | 7.82 |        |                |         |              |
| 30a   | 69.72 | 7.36 | 7.67 | 141 C  | 0.45           | 25%     | 24           |
| 30b   | 67.18 | 7.20 | 7.77 | 127 C  | 0.42           | 29%     | 26           |
| 31a   | 69.25 | 7.47 | 8.42 | 153 C  | 0.55           | 18%     | 24           |
| 31b   | 67.06 | 7.26 | 7.68 | 128 C  | 0.48           | 21%     | 26           |
| 32a   | 69.53 | 7.27 | 8.61 | 158 C  | 0.75           | 12%     | 24           |
| 32b   | 66.82 | 7.20 | 7.54 | 182 C  | 0.70           |         | 26           |
| 37a   | 69.72 | 6.98 | 8.35 | 161 C  | 0.72           | 46%     | 12/17        |
| 37b   | 66.90 | 7.28 | 7.64 | 164 C  | 0.65           | 45%     | 14/19        |
| 37c   |       |      |      | 169 C  | 0.70           | 45%     | 13/18        |
| 38b   | 66.83 | 7.30 | 7.78 | 121 C  | 0.39           | 5 - 10% | 14/19        |

= 9 Hz)

16  
 6 (28b)  
 12 (29b)

2t,6t,1r-Isomeres (29a) 2 g  
 5, Schmp. 198 C, 29a Ausb

MDSO)

Hz, W<sub>11</sub> = 20 Hz)

40  
 54 (28a)  
 33 (29a)

- 30a: 3*c*-Äthyl-4-anti-hydroxyimino-5*c*-(2-indolyl)-1*r*-cyclohexancarbonsäure-äthylester  
 30b: 3*c*-Äthyl-4-anti-hydroxyimino-5*c*-(5-methoxy-2-indolyl)-1*r*-cyclohexancarbonsäure-äthylester  
 31a: 3*c*-Äthyl-4-syn-hydroxyimino-5*c*-(2-indolyl)-1*r*-cyclohexancarbonsäure-äthylester  
 31b: 3*c*-Äthyl-4-syn-hydroxyimino-5*c*-(5-methoxy-2-indolyl)-1*r*-cyclohexancarbonsäure-äthylester  
 32a: 3*c*-Äthyl-4-syn-hydroxyimino-5*t*-(2-indolyl)-1*r*-cyclohexancarbonsäure-äthylester  
 32b: 3*c*-Äthyl-4-syn-hydroxyimino-5*t*-(5-methoxy-2-indolyl)-1*r*-cyclohexancarbonsäure-äthylester  
 37a: 3*t*-Äthyl-4-anti-hydroxyimino-5*c*-(2-indolyl)-1*r*-cyclohexancarbonsäure-äthylester  
 37b: 3*t*-Äthyl-4-anti-hydroxyimino-5*c*-(5-methoxy-2-indolyl)-1*r*-cyclohexancarbonsäure-äthylester  
 37c: 3*t*-Äthyl-4-anti-hydroxyimino-5*c*-(5-methoxy-2-indolyl)-1*r*-cyclohexancarbonsäure-methylester  
 38b: 3*t*-Äthyl-4-anti-hydroxyimino-5*t*-(5-methoxy-2-indolyl)-1*r*-cyclohexancarbonsäure-äthylester

26) Darstellung der Amine 39–42: Zu den Aminen der Ibogamin-, Ibogain-, Epiibogamin- und Epiibogain-Reihe gelangt man, indem die entsprechenden Oxime katalytisch nach verschiedenen Verfahren reduziert werden.

a) Reduktion der reinen Oxime 30 und 31: 200 mg Oxim werden in 50 ml ketonfreiem Äthanol mit ca. 1 ml äthanolfeuchtem Raney-Nickel in einem Autoklaven bei 40–80 °C und 80 atü etwa 12 h hydriert. Die vom Katalysator befreite Lösung wird eingeengt, mit Chloroform versetzt und mehrfach mit 1 N HCl ausgezogen. Die Neutralstoffe, unter ihnen bereits etwas Azabicyclooctan 43, 45, verbleiben in der organischen Phase, während die Amine als Hydrochloride in die wässrige Phase übertreten. Man gewinnt das Amin hieraus durch Versetzen mit Ammoniak und Aufnehmen in Chloroform. Der Rückstand der getrockneten Chloroformphase wird mit Methanol als Laufmittel über Kieselgel chromatographiert. Die *cis*-Amine passieren zuerst und werden aus Methanol/Wasser umgelöst. Die *trans*-Amine erhält man, indem man die entsprechende Fraktion in Vakuum vollständig einengt und den Rückstand mit Benzol auskocht. Evtl. vorhandenes *cis*-Amin bleibt ungelöst. Durch Zugabe von Petroläther zur benzolischen Lösung erhält man die *trans*-Amine in Form feiner, farbloser, stark verfilzter Nadeln. Zur Isolierung der *trans*-Amine siehe unten unter 27b).

b) Das aus den *cis*-Ketonen 12–14 entstehende Oximgemisch wird direkt wie oben angegeben hydriert. Dies hat den Vorteil, daß keine Verluste durch die Isolierung der Oxime entstehen, jedoch verläuft die Reduktion mitunter nicht vollständig. Nur frisch bereitetes Oximgemisch kann reduziert werden, da anderenfalls rasch Zersetzung eintritt. Die bei der Reduktion nach dieser Methode entstehenden Amine aus den Oximen 32 und 33 stören nicht, da sie einen erheblich kleineren  $R_f$ -Wert besitzen und demzufolge leicht abzutrennen sind.

c) Reduktion mit Hydrazinhydrat/Raney-Nickel: 700 mg des jeweiligen Oxims werden in 100 ml siedendem absol. Methanol gelöst und mit einer Spatelspitze Raney-Nickel versetzt. Unter starkem Rühren fügt man 5 Tropfen 100proz. Hydrazinhydrat hinzu. Alle 5 min wiederholt man die Zugabe von Katalysator und Hydrazinhydrat. Nach 45 min ist die Reaktion beendet, eine mit Wasser verdünnte Probe klärt sich beim Versetzen mit verd. Salzsäure. Die Reaktionsmischung wird darauf vom Katalysator abfiltriert, eingeengt, mit Wasser verdünnt und mit Chloroform extrahiert. Die Chloroformphase wird wie unter a) aufgearbeitet. Es konnten bis zu 450 mg (65%) *cis*-Amin isoliert werden. Das Verfahren ist jedoch nicht gut reproduzierbar.

$C_{17}H_{23}N_2O_2$  (314)

30a

30b

31a

31b

$C_{17}H_{23}N_2O_3$  (344)

30b

30b

31b

*cis*-Amin aus Oxim 38b

\* Ausb. nach Met

39a: 4*c*-Amino-3

39b: 4*c*-Amino-3

40a: 4*t*-Amino-3

40b: 4*t*-Amino-3

41a: 4*c*-Amino-3

41b: 4*c*-Amino-3

42a: 4*t*-Amino-3

42b: 4*t*-Amino-3

27) Darstellung

a) 200 mg *cis*-Amin geleitet wird, auf Gasblasen. Nach 1 weitere Stunde. In kaltem Brei verriet fällt in der Kälte chromatographier

säure-äthylester  
hexancarbonsäure-äthyl-  
säure-äthylester  
hexancarbonsäure-äthyl-  
säure-äthylester  
hexancarbonsäure-äthyl-  
säure-äthylester  
hexancarbonsäure-äthyl-  
hexancarbonsäure-methyl-  
hexancarbonsäure-äthyl-

<sup>1</sup>H-NMR (HMDSO, 100 MHz)

|                  | 39 b                           | 40 b                                 |
|------------------|--------------------------------|--------------------------------------|
| NH               | 9.4                            | 9.05                                 |
| 3'-H             | 6.07                           | 6.12                                 |
| Ester q          | 4.02 (J = 7 Hz)                | 4.03 (J = 7 Hz)                      |
| t                | 1.16 (J = 7 Hz)                | 1.17 (J = 7 Hz)                      |
| OCH <sub>3</sub> | 3.70                           | 3.72                                 |
| 4e-H             | 3.12 (W <sub>II</sub> = 8 Hz)  | 4a-H: 2.39 (W <sub>II</sub> = 25 Hz) |
| 5a-H             | 2.78 (W <sub>II</sub> = 22 Hz) | -                                    |
| 1a-H             | 2.38 (W <sub>II</sub> = 30 Hz) | -                                    |
| CH <sub>3</sub>  | 0.83 (t, J = 6 Hz)             | 0.83 (t, J = 6 Hz)                   |

Tab. 3. Ausbeuten und analytische Daten der Amine 39–42  
(R<sub>F</sub>-Werte: DC auf Kieselgel, Laufmittel Methanol)

|   | C     | H    | N    | Schmp. | R <sub>F</sub> | Ausb. *) | Methode |
|---|-------|------|------|--------|----------------|----------|---------|
| H <sub>16</sub> N <sub>2</sub> O <sub>2</sub> (314.4) | 72.56 | 8.34 | 8.91 |        |                |          |         |
| 39 a  | 72.34 | 8.21 | 9.08 | 143 °C | 0.65           | 60 %     | a, b)   |
| 39 b  | 72.38 | 8.20 | 9.11 | 165 °C | 0.55           | 30 %     | a, b)   |
| 40 a  | 71.95 | 7.95 | 9.00 | 168 °C | 0.50           | 55 %     | a)      |
| 40 b  | 72.78 | 8.11 | 9.06 | 166 °C | 0.45           | 40 %     | a)      |
| H <sub>18</sub> N <sub>2</sub> O <sub>3</sub> (344.4) | 69.74 | 8.18 | 8.13 |        |                |          |         |
| 39 b  | 69.90 | 7.87 | 8.57 | 143 °C | 0.60           | 60 %     | a)      |
| 40 b  | 69.63 | 8.26 | 8.00 | 129 °C | 0.55           | 25 %     | a, b)   |
| 41 b  | 69.90 | 7.66 | 8.39 | 171 °C | 0.4            | 60 %     | a)      |
| cis-Amin aus<br>38 b                                  | 69.46 | 8.34 | 8.60 | 158 °C | 0.2            | 60 %     | c)      |

\* a, b) nach Methode a), bei b) etwa die Hälfte davon.

- 39 a 4c-Amino-3c-äthyl-5c-(2-indolyl)-1r-cyclohexancarbonsäure-äthylester  
 39 b 4c-Amino-3c-äthyl-5c-(5-methoxy-2-indolyl)-1r-cyclohexancarbonsäure-äthylester  
 40 a 4t-Amino-3c-äthyl-5c-(2-indolyl)-1r-cyclohexancarbonsäure-äthylester  
 40 b 4t-Amino-3c-äthyl-5c-(5-methoxy-2-indolyl)-1r-cyclohexancarbonsäure-äthylester  
 41 a 4c-Amino-3t-äthyl-5c-(2-indolyl)-1r-cyclohexancarbonsäure-äthylester  
 41 b 4c-Amino-3t-äthyl-5c-(5-methoxy-2-indolyl)-1r-cyclohexancarbonsäure-äthylester  
 42 a 4t-Amino-3t-äthyl-5c-(2-indolyl)-1r-cyclohexancarbonsäure-äthylester  
 42 b 4t-Amino-3t-äthyl-5c-(5-methoxy-2-indolyl)-1r-cyclohexancarbonsäure-äthylester

\*) Darstellung der Isochinclidone 43 und 45

100 mg cis-Amin 39 bzw. 41 werden in einem Reagenzglas, über welches ständig ein N<sub>2</sub>-Strom geleitet wird, auf ca. 200 °C erhitzt. Das Amin schmilzt und Äthanol entweicht in Form kleiner Blasen. Nach etwa 2 h erstarrt die Flüssigkeit, man erhitzt zwecks vollständigen Umsatzes eine weitere Stunde. Danach wird das unter N<sub>2</sub> erkaltete Reaktionsprodukt mit Äthanol zu einem Brei verrieben, in einen Kolben übergeführt und dort in heißem Äthanol gelöst. Das Lactam fällt bei der Kälte nahezu quantitativ aus. Die Mutterlauge wird mit Methanol über Kieselgel chromatographiert. Ausb. um 170 mg (95–100 %).

b) Das bei der Hydrierung der Oxime anfallende *cis/trans*-Isomergemisch der Amine wird unter a) beschrieben, erhitzt. Das *trans*-Amin reagiert nicht, es kann vom Lactam quantitativ durch Säurebehandlung oder durch Umlösen aus Äthanol abgetrennt werden. Die Ausbeuten bezogen auf den jeweiligen *cis*-Anteil, etwa die gleichen. Das Erhitzen kann auch in der Hydrierlösung im Autoklaven erfolgen, nachdem der Katalysator abfiltriert wurde. Die Isochinucleine sind aufgrund der in Methanol günstigen  $R_f$ -Werte von allen Verunreinigungen leicht zu betrennen.

**43a:** 6-*endo*-Äthyl-7-*syn*-(2-indolyl)-2-azabicyclo[2.2.2]octan-3-on

**43b:** 6-*endo*-Äthyl-7-*syn*-(5-methoxy-2-indolyl)-2-azabicyclo[2.2.2]octan-3-on:  $^1\text{H-NMR}$  (100 MHz) + DMSO- $d_6$ /HDMSO, 100 MHz):  $\text{CHCl}_3$   $\delta$  = 7.57 ppm, 1'-H 10.05, 3'-H 6.03, 2-H 7.32 (m,  $J_{1,2}$  = 5 Hz,  $W_H$  = 12 Hz),  $\text{CH}_3\text{O}$  3.67, 1-H 3.5 (m,  $J_{1,2}$  = 5 Hz,  $W_H$  = 11 Hz), Äthyl- $\text{CH}_2$ : 0.84 (t,  $J_{1,2}$  = 7 Hz,  $W_H$  = 12 Hz).

**45a:** 6-*exo*-Äthyl-7-*syn*-(2-indolyl)-2-azabicyclo[2.2.2]octan-3-on

**45b:** 6-*exo*-Äthyl-7-*syn*-(5-methoxy-2-indolyl)-2-azabicyclo[2.2.2]octan-3-on

|  | C     | H    | N     | Schmp. | $R_f$ *) | $\nu\text{C}=\text{O}$ (KBr) |
|--|-------|------|-------|--------|----------|------------------------------|
| $\text{C}_{17}\text{H}_{20}\text{N}_2\text{O}$ (268.4)   | 76.08 | 7.51 | 10.44 |        |          |                              |
| <b>43a</b>   | 76.10 | 7.55 | 10.59 | 251°C  | 0.75     |                              |
| <b>45a</b>   | 75.93 | 7.54 | 10.38 | 260°C  | 0.86     | 1670                         |
| $\text{C}_{18}\text{H}_{22}\text{N}_2\text{O}_2$ (298.4) | 72.50 | 7.44 | 9.40  |        |          |                              |
| <b>43b</b>   | 72.62 | 7.47 | 9.14  | 240°C  | 0.85     | 1673                         |
| <b>45b</b>   | 72.28 | 7.38 | 9.40  | 235°C  | 0.90     | 1678                         |

\*) DC auf Kieselgel, Methanol.

28) *Darstellung der Isochinucleidine 44 und 46:* 100 mg Isochinucleidon **43, 45** werden mit 5 ml Äther aufgeschlämmt. Hierzu fügt man portionsweise 200 mg Lithiumaluminiumhydrid und kocht insgesamt 8 h unter Rückfluß und  $\text{N}_2$ -Atmosphäre. Nach vorsichtiger Zersetzung mit Wasser wird der Äther vom Aluminiumhydroxidschleim dekantiert, der Kolben mit etwas Chloroform ausgespült, und die vereinigten organischen Phasen werden getrocknet. Das Isochinucleidon bleibt nach Verdampfen des Lösungsmittels als gelbliches Öl zurück. Die Umsetzung ist vollständig, nur die Verbindungen **46a, b** konnten kristallin erhalten werden.

**44a:** 6-*endo*-Äthyl-7-*syn*-(2-indolyl)-2-azabicyclo[2.2.2]octan:  $R_f$  (Methanol) 0.15.

**44b:** 6-*endo*-Äthyl-7-*syn*-(5-methoxy-2-indolyl)-2-azabicyclo[2.2.2]octan:  $R_f$  (Methanol) 0.11.

**46a:** 6-*exo*-Äthyl-7-*syn*-(2-indolyl)-2-azabicyclo[2.2.2]octan:  $R_f$  (Methanol) 0.1, Schmp. 110°C (Petroläther).

*Pikrat:* Orangefarbene Kristalle, Schmp. 205°C (Zers.).

$[\text{C}_{17}\text{H}_{23}\text{N}_2]\text{C}_6\text{H}_2\text{N}_3\text{O}_7$  (483.5) Ber. C 57.13 H 5.21 N 14.49 Gef. C 57.58 H 5.35 N 14.49

**46b:** 6-*exo*-Äthyl-7-*syn*-(5-methoxy-2-indolyl)-2-azabicyclo[2.2.2]octan:  $R_f$  (Methanol) 0.1, Schmp. 142°C (Äthanol, Petroläther).

29) *Darstellung der Glycinester 48 - 50:* 268 bzw. 298 mg (1 mmol) Isochinucleidon **43a, b** und **45a** werden, wie beschrieben, zu den Isochinucleidinen reduziert. Das sek. Amin löst man sofort in 200 ml abs. Chloroform und versetzt mit 0.1 mmol Bromessigsäure-äthylester (183 mg) und 300 mg *N*-Äthyl-dicyclohexylamin. Man entfernt das Chloroform i. Vak., überläßt den Rückstand unter  $\text{N}_2$  über Nacht sich selbst, nimmt dann in Methanol auf und trennt über eine Kieselgel-Säule. Zusammen mit etwas Bromessigester erscheint das gewünschte Produkt in der ersten Fraktion, während die Hilfsbase und deren Hydrobromid auf der Säule verbleiben. Man löst aus Methanol

Wasser um. Zur Abtrennung vom Essigester mit kaltem Wasser verrieben. Das aus

$\text{C}_{21}\text{H}_{24}\text{N}_2\text{O}_2$  (340.4)

48

49

$\text{C}_{22}\text{H}_{26}\text{N}_2\text{O}_3$  (370.5)

50

\*) Mit Methanol.

\*) Mit Essigester.

**48:** 6-*endo*-Äthyl-8-*syn*-(2-indolyl)-2-azabicyclo[2.2.2]octan

(TMS, 90 MHz): NH  $\delta$  = 10.05 (s,  $J_{1,2}$  = 8 Hz), 8-H 3.01 (m,  $J_{1,2}$  = 8 Hz).

**49:** 6-*exo*-Äthyl-8-*syn*-(2-indolyl)-2-azabicyclo[2.2.2]octan

**50:** 6-*endo*-Äthyl-8-*syn*-(5-methoxy-2-indolyl)-2-azabicyclo[2.2.2]octan

30) *Darstellung der Oxidation*

30) *Darstellung der Oxidation*

30) *Darstellung der Oxidation*

30) *Darstellung der Oxidation*

30) *Darstellung der Oxidation*

30) *Darstellung der Oxidation*

30) *Darstellung der Oxidation*

30) *Darstellung der Oxidation*

30) *Darstellung der Oxidation*

30) *Darstellung der Oxidation*

30) *Darstellung der Oxidation*

30) *Darstellung der Oxidation*

30) *Darstellung der Oxidation*

30) *Darstellung der Oxidation*

30) *Darstellung der Oxidation*

30) *Darstellung der Oxidation*

30) *Darstellung der Oxidation*

30) *Darstellung der Oxidation*

30) *Darstellung der Oxidation*

30) *Darstellung der Oxidation*

30) *Darstellung der Oxidation*

30) *Darstellung der Oxidation*

30) *Darstellung der Oxidation*

30) *Darstellung der Oxidation*

30) *Darstellung der Oxidation*

30) *Darstellung der Oxidation*

30) *Darstellung der Oxidation*

30) *Darstellung der Oxidation*

30) *Darstellung der Oxidation*

30) *Darstellung der Oxidation*

30) *Darstellung der Oxidation*

30) *Darstellung der Oxidation*

30) *Darstellung der Oxidation*

30) *Darstellung der Oxidation*

30) *Darstellung der Oxidation*

30) *Darstellung der Oxidation*

30) *Darstellung der Oxidation*

30) *Darstellung der Oxidation*

30) *Darstellung der Oxidation*

30) *Darstellung der Oxidation*

30) *Darstellung der Oxidation*

30) *Darstellung der Oxidation*

30) *Darstellung der Oxidation*

30) *Darstellung der Oxidation*

30) *Darstellung der Oxidation*

30) *Darstellung der Oxidation*

30) *Darstellung der Oxidation*

h der Amine wird, was  
tam quantitativ durch  
Die Ausbeuten sind  
auch in der Hydrier  
. Die Isochinuchdome  
gen leicht zu befreien

-on: <sup>1</sup>H-NMR (CDCl<sub>3</sub>,  
), 2-H 7.32 (m, J<sub>1,2</sub> =  
1-H-CH<sub>3</sub>: 0.84 (t)

on

<sup>13</sup>C-NMR (KBr) (cm<sup>-1</sup>)

1670

1673

1678

45 werden mit Methanol  
luminiumhydrid und  
tiger Zersetzung  
ben mit etwas Chloroform  
et. Das Isochinuchdome  
: Umsetzung ist

nol) 0.15.

R<sub>F</sub> (Methanol) 0.15

ol) 0.1, Schmp. 114 °C

7.58 H 5.35 N 13.00

R<sub>F</sub> (Methanol) 0.11

inuclidon 43a, b und  
nin löst man sofort  
lester (183 mg) w  
erläßt den Rückstand  
er eine Kieselgelschicht  
der ersten Fraktion  
an löst aus Methanol

Wasser um. Zur Abtrennung von Bromessigester wird die eingeengte Fraktion mit 5 N HCl in der  
Lösung vertrieben. Das ausgefallene Salz wird abgesaugt und mit Äther gewaschen.

|   | C     | H    | N    | Schmp. | R <sub>F</sub>     | Ausb. |
|---|-------|------|------|--------|--------------------|-------|
| C <sub>21</sub> H <sub>28</sub> N <sub>2</sub> O <sub>2</sub> (340.4) | 74.08 | 8.29 | 8.23 |        |                    |       |
| 48  | 74.10 | 8.19 | 8.11 | 116 °C | 0.9 <sup>a)</sup>  | 80 %  |
| 49  | 74.22 | 8.02 | 7.89 | 66 °C  | 0.67 <sup>b)</sup> | 65 %  |
| C <sub>22</sub> H <sub>30</sub> N <sub>2</sub> O <sub>3</sub> (370.5) | 71.32 | 8.16 | 7.56 |        |                    |       |
| 50  | 71.05 | 8.00 | 7.77 | 135 °C | 0.85 <sup>a)</sup> | 80 %  |

<sup>a)</sup> Mit Methanol.

<sup>b)</sup> Mit Essigester.

■ 6-endo-Äthyl-8-syn-(2-indolyl)-2-azabicyclo[2.2.2]octan-2-essigsäure-äthylester: <sup>1</sup>H-NMR  
(MS, 90 MHz): NH δ = 11.17 ppm, 3'-H 6.17, 1-H 2.66 (m, W<sub>1</sub> = 5 Hz), 3-H 2.54 und 3.42 (AX,  
1:1 Hz), 8-H 3.01 (m, W = 20 Hz), Äthyl-CH<sub>3</sub> 0.91 (t), CH<sub>2</sub>CO 3.54 (s).

■ 6-exo-Äthyl-8-syn-(2-indolyl)-2-azabicyclo[2.2.2]octan-2-essigsäure-äthylester

■ 6-endo-Äthyl-8-syn-(5-methoxy-2-indolyl)-2-azabicyclo[2.2.2]octan-2-essigsäure-äthylester

13 Darstellung der Oxoalkaloide 54–56: Die Aminoester 48–50 werden in methanolisch/  
wässriger Lösung mit überschüssiger KOH verseift (30–50 °C), bis eine Probe in Wasser klar löslich  
ist. Hierzu ist Schutzgasatmosphäre erforderlich. Darauf wird ein pH-Wert von 6.5–7.0 einge-  
stellt. Die Säuren 51–53 werden mit Chloroform ausgezogen, das Lösungsmittel wird vertrieben  
und der Rückstand durch Verreiben mit Äther kristallisiert. Eine vollständige Reinigung ist äußerst  
schwierig und wurde nicht angestrebt, die Ausbeute ist nahezu quantitativ.

13 Auf 600 °C erwärmte Polyphosphorsäure „Merck“ (85% P<sub>2</sub>O<sub>5</sub>) werden mit jeweils 70 mg  
Säure 51–53 gut vermischt. Unter N<sub>2</sub> hält man 30 min auf 60 °C, darauf 2 h unter Rühren auf  
100 °C und weitere 30 min auf 90 °C. Die Farbe erreicht dunkelrot. Man läßt erkalten, zersetzt mit  
Ammoniak und extrahiert die alkalische Mischung mit Chloroform/Essigester (1:1). Nach  
Abdunsten und Abdunsten der organischen Phase wird der Rückstand in Methanol gelöst und in  
Methanol/Laufmittel über Kieselgel aufgetrennt. Als erste Fraktion erscheint, zimtaldehyd-negativ,  
ein Oxoalkaloid, gefolgt vom isomeren Ringschlußprodukt.

|   | C     | H    | N    | vC=O<br>(KBr)<br>(cm <sup>-1</sup> ) | Schmp. <sup>a)</sup>      | R <sub>F</sub>     | Ausb. (%) |
|---|-------|------|------|--------------------------------------|---------------------------|--------------------|-----------|
| C <sub>16</sub> H <sub>22</sub> N <sub>2</sub> O (294.4)              | 77.52 | 7.53 | 9.52 |                                      |                           |                    |           |
| 54  | 77.29 | 7.39 | 9.45 | 1560–1590                            | 235–<br>238 °C<br>(Zers.) | 0.8 <sup>b)</sup>  | 30        |
| 55  | 77.79 | 7.69 | 9.75 | 1565–1590                            | 220 °C<br>(Zers.)         | 0.55 <sup>c)</sup> | 32        |
| 60a   | 77.50 | 7.51 | 9.56 | 1740                                 | 175 °C                    | 0.65 <sup>b)</sup> | 30        |
| C <sub>17</sub> H <sub>24</sub> N <sub>2</sub> O <sub>2</sub> (324.4) | 74.04 | 7.46 | 8.64 |                                      |                           |                    |           |
| 56  | 73.93 | 7.43 | 8.53 | 1570–1600                            | 235–<br>240 °C<br>(Zers.) | 0.75 <sup>b)</sup> | 25        |
| 60b   | 73.81 | 7.65 | 8.44 | 1740                                 | 200 °C                    | 0.6 <sup>b)</sup>  | 25        |

<sup>a)</sup> In Methanol/Wasser.

<sup>b)</sup> In Methanol.

<sup>c)</sup> In Essigester.

**54:** 4-endo-Äthyl-1,2,3,4,4a,5,6,7,12,12b-decahydro-2,5-methano-indolo[3,2-d][1]benzazepin-7-on:  $^1\text{H-NMR}$  ( $\text{CDCl}_3 + \text{DMSO/TMS}$ , 90 MHz): NH  $\delta = 11.58$  ppm, 8-H 8.39, 6-H 8.66 (d,  $A_v = 13$  Hz), 12b-H 2.94 (vier Signale, t-ähnlich), 4a- bzw. (5)-H 3.02 (m schmal), 13-H 2.08 (s) (AX,  $J = 12$  Hz), Äthyl-CH<sub>3</sub> 0.93 (t,  $J = 6-7$  Hz).

**55:** 4-exo-Äthyl-1,2,3,4,4a,5,6,7,12,12b-decahydro-2,5-methano-indolo[3,2-d][1]benzazepin-7-on

**56:** 4-endo-Äthyl-9-methoxy-1,2,3,4,4a,5,6,7,12,12b-decahydro-2,5-methano-indolo[3,2-d][1]benzazepin-7-on

**60a:** 8-endo-Äthyl-6-(2-indolyl)-3-azatricyclo[4.3.1.0<sup>3,7</sup>]decan-5-on:  $^1\text{H-NMR}$  (TMS, 90 MHz): NH  $\delta = 8.67$  ppm, 3'-H 6.16, 2-, 4-, 7-H 3.05-3.51, 2-H 2.49 (Teil des AX-Spektrums), Äthyl-CH<sub>3</sub> 1.0 (t,  $J = 6$  Hz).

**60b:** 8-endo-Äthyl-6-(5-methoxy-2-indolyl)-3-azatricyclo[4.3.1.0<sup>3,7</sup>]decan-5-on

31) Reduktion der Oxoalkaloide zu Ibogamin, Ibogain und Epiibogamin: 25 mg **54** bzw. **55** in 25 ml Äther werden portionsweise mit 50 mg  $\text{LiAlH}_4$  versetzt. Man kocht unter Reinstickstoff bis die Lösung überflüssig ist, zerstört überschüss. Reduktionsmittel mit wenigen Tropfen Wasser und trennt von unedlen anorganischen Hydroxiden durch Dekantieren. Alle Operationen sind unter Inertgasatmosphäre vorzunehmen. Das Chromatogramm des Ansatzes zeigt quantitativen, einheitlichen Umsatz. Trotzdem gelingt die Kristallisation (Methanol/ $\text{O}_2$ -freies Wasser) nur schwierig, teilweise Zersetzung ein, wie das Chromatogramm der Mutterlaugen beweist.

**Ibogamin (57):** Schmp. 126-128°C (Lit. <sup>11)</sup> 128-132°C), Ausb. 19 mg (75%),  $R_f = 0.35$  (Methanol), farblose Nadeln.

**Ibogain (59):** Schmp. 110-112°C (Lit. <sup>11)</sup> 114°C), Ausb. 12 mg (50%),  $R_f = 0.35$  (Methanol), büschelige Nadeln.

**Epiibogamin (58):** 150 mg **55** in 20 ml Tetrahydrofuran wurden mit 120 mg Lithiumaluminiumhydrid reduziert. Die Aufarbeitung erfolgt wie unter Ibogamin beschrieben. Das DC zeigte quantitativen Umsatz an. Man verdampft das Lösungsmittel, nimmt in Chloroform auf, wäscht mit Wasser und läßt den Rückstand kristallisieren. Reinausb. 127 mg (89%), Schmp. 192°C (Methanol) und Petroläther,  $R_f = 0.75$  (Dimethylformamid).

$\text{C}_{19}\text{H}_{24}\text{N}_2$  (280.4) Ber. C 81.38 H 8.63 N 9.99 Gef. C 81.21 H 8.44 N 9.89

32) 4-Äthyl-2,3,4,4a,5,6,11,11b-octahydro-1H-indolo[3,2-c]chinolin-2-carbonsäure-äthylester (Carbolin **62**): 100 mg **40a** in 5 ml Äthanol werden mit 0.25 ml einer 40proz. Formalinlösung und einem Tropfen Eisessig versetzt. Nach 12 h ist die Reaktion bei Raumtemp. beendet. Das Lösungsmittel wird vertrieben, der Rückstand mit wenigen Tropfen Ammoniak versetzt und in Chloroform aufgenommen. Dessen Rückstand wird aus Methanol/Wasser umgelöst. Ausb. 83 mg (83%),  $R_f = 0.5$  (Methanol), Schmp. 117°C. -  $^1\text{H-NMR}$ : 11-H  $\delta = 8.14$  ppm, 7-10-H 6.98-7.40 (m), 4.13 (s), Ester 4.15 (q), 1.29 (t,  $J = 7.0$  Hz), Äthyl-CH<sub>3</sub> 0.94 (t) ( $J = 7$  Hz).

$\text{C}_{21}\text{H}_{26}\text{N}_2\text{O}_2$  (338.4) Ber. C 74.53 H 7.75 Gef. C 74.29 H 7.68

Massenspektren: Aufnahme mit einem Varian SM 1.

8-Oxoibogamin (**54**) (110°C, 70 eV):  $\text{M}^+$   $m/e = 294.1728$  (ber. für  $\text{C}_{19}\text{H}_{22}\text{N}_2\text{O}$  294.1728),  $\text{C}_9\text{H}_{13}\text{N}$  135.1044 (ber. 135.1048),  $\text{C}_8\text{H}_{12}\text{N}$  122.0960 (ber. 122.0974). -  $m/e = 294$  (42%), 279 (265) (14), 251 (25), 237 (5), 208 (8), 194 (7), 183 (19), 182 (23), 181 (23), 180 (36), 170 (13), 169 (12), 167 (13), 156 (9), 154 (8), 149 (14), 147 (7), 143 (7), 136 (50), 135 (100), 130 (9), 129 (7), 128 (123) (10), 122 (50), 121 (13), 115 (9), 108 (10).

**Ibogamin (57):**  $\text{M}^+$   $m/e = 280$  (100%), 265 (26), 251 (4), 223 (2), 195 (34), 180 (6), 167 (13), 159 (14), 149 (40), 140 ( $\text{M}^{2+}$  19), 136 (80), 135 (50), 124 (14), 122 (31).



[3,2-d][1]benzazepin-7-  
8-H 8.39, 6-H 3.66 (A)  
schmal), 13-H 2.08, 15-H

2-d][1]benzazepin-7-  
thano-indolo[4,2-d][1]

I-NMR (TMS, 90 MHz)  
AX-Spektrums). Athyl

m-5-on

n: 25 mg 54 bzw. 56 in  
unter Reinstickstoff 12 h  
trennt von unlöslichen  
unter Inertgasatmosphäre  
inertlichen Umsatz an  
schwierig, teilweise tren

5%),  $R_F = 0.45$  (Metha

,  $R_F = 0.35$  (Methanol)

mg Lithiumaluminium  
in. Das DC zeigte quas  
roform auf, wascht ma  
chmp. 192 C (Methanol)

H 8.44 N 9.89

rbonsäure-äthylester  
oz. Formalinlösung und  
beendet. Das Lösungs  
setzt und in Chloroform  
st. Ausb. 83 mg (80%),  
10-H 6.98 - 7.49, 6-H

9 H 7.68

$C_{19}H_{22}N_2O$  294 (100),  
/e = 294 (42%), 279 (14),  
16), 170 (13), 169 (13), 146  
130 (9), 129 (7), 128 (15)

80 (6), 167 (13), 156 (24),

60a (8-Oxoibogamin-Isomeres) (85°C, 70 eV):  $M^+$   $m/e = 294.1729$  (ber. für  $C_{19}H_{22}N_2O$   
294.1732),  $C_{18}H_{22}N_2$  266.1765 (ber. 266.1783),  $C_{16}H_{16}N$  222.1270 (ber. 222.1283). —  $m/e = 294$   
(42%), 279 (3), 267 (27), 266 (100), 249 (4), 237 (15), 224 (1), 223 (35), 222 (53), 208 (27), 195 (22),  
184 (68), 193 (30), 180 (17), 168 (27), 167 (26), 154 (11), 149 (22), 143 (16), 142 (16), 130 (26), 125 (18),  
117 (18), 115 (22), 109 (23).

8-Oxoibogain (56) (150°C, 70 eV):  $M^+$   $m/e = 324.1844$  (ber. für  $C_{20}H_{24}N_2O_2$  324.1838),  $C_9H_{13}N$   
135.1041 (ber. 135.1048). —  $m/e = 324$  (39%), 323 (6), 309 (1.4), 296 (4), 295 (9), 281 (1.1), 267 (1.5),  
252 (1.6), 241 (1.1), 239 (2), 238 (3), 226 (1.2), 225 (2), 224 (1.3), 213 (1.1), 212 (1.6), 211 (1.4), 210 (1.4),  
200 (4.5), 199 (1.6), 198 (2.2), 189 (1.4), 186 (2.2), 185 (1.5), 176 (1.9), 174 (1.6), 167 (1.1), 162 (9), 160  
149, 138 (1.7), 157 (1.1), 154 (1.4), 150 (1.6), 149 (1.1), 148 (1.9), 143 (1.5), 142 (1.2), 141 (1.1), 137 (4.5),  
136 (15), 135 (100), 134 (1.8), 129 (1.1), 124 (2.2), 122 (23), 121 (6), 115 (1), 110 (1.4), 108 (3), 94 (2.5).

[236/74]